

LÉGENDE

- 1 Paragneiss et migmatites associées.
 - 2 Granite rose à biotite et amphibole.
 - 3 Volcanites des ceintures de roches vertes.
 - 4 Orthoconglomérat polymictique; conglomérat de base.
 - 5 Orthoconglomérat oligomictique.
 - 6 Paroconglomérat.
 - 7 Microconglomérats arkosiques et subarkosiques (> 15% feldspaths).
 - 8 Microconglomérats quartzeux et feldspathiques (< 15% feldspaths).
 - 9 Grès arkosique et subarkosique (> 15% feldspaths).
 - 10 Grès feldspathiques (5 à 15% feldspaths).
 - 11 Orthoquartzite (< 5% feldspaths).
 - 12 Siltstones et argilites.
 - 13 Grès à 2 granulométries.
 - 14 Dolomie gréseuse.
 - 15a Gabbro d'Otish frais.
 - 15b Gabbro d'Otish altéré.
 - 16 Diatexite post-bassin.
-
- Zones d'affleurements et affleurement.
 - Contacts géologiques sur zone d'affleurement.
 - Extrapolations des contacts hors affleurements.
 - ⊕ Faille (nature du rejet horizontal).
 - ⊕ Mouvements verticaux, respectivement surélévation et effondrement.
 - Extrapolations de faille.
 - Fractures réductes de la photogéologie.
 - ⊕ Anticlinal.
 - ⊖ Synclinal.
 - Fracture ouverte (Qz + tapissée de quartz).
 - a/b/c/d Direction-pendage des couches: a) mesuré b) indéterminé c) horizontal d) pendage vertical.
 - a/b/c/d Direction-pendage des clivages: a) mesuré b) indéterminé c) pendage vertical.
 - ↘ Direction-pendage du clivage de fractures dans le gabbro.
 - ↘ Direction de striae - plongement mesuré.
 - ↘ Direction de paléocourant.
 - ↘ Direction de striae glaciaires.
 - Esker.
 - Limite de permis.
 - A-A Coupe géologique.
 - a/b/c/d Anomalies en place: a) uranium, b) thorifère, c) clindéterminées.
 - a/b/c/d Anomalies en blocs: a) uranium, b) thorifère, c) clindéterminées.
 - x x Localisation d'anomalies rattachées aux précédentes.
 - T₁ Tranchée 1.
 - Station Station d'affleurement et traverse géologique.
 - Station Station de blocs.
 - Cône de dispersion de train de blocs majeur.

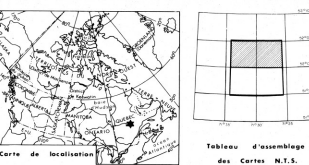
LÉGENDE

- Lac ou Étang.
- Cour d'eau.
- Cour d'eau imperméable.
- Marécage.
- Courbes de niveau.
- Courbe de cote.
- Point cote.

Espacement des courbes 5 mètres.

La Déclinaison Magnétique pour 1980 est de 23°09 à l'Ouest du Nord Géographique.
La Variation Annuelle est décroissante de 0,2 par Année.

Triangulation aérienne dérivant de photographies aériennes à l'échelle 1:31 680.
Triangulation aéroportée de photographies à l'échelle 1:60 000.



Echelle: 1:10000

SERU NUCLEAIRE CANADA LIMITEE
PROJET MONTS-OTISH
S.E.R.U.-M.E.R.

CARTE GÉOLOGIQUE
PROPRIÉTÉ "G" NORD
MRN-GÉOINFORMATION 2000
GM 57684



LÉGENDE

- 1 Paragneiss et migmatites associées.
 - 2 Granite rose à biotite et amphibole.
 - 3 Volcanites des ceintures de roches vertes.
 - 4 Orthoconglomérat polymictique, conglomérat de base.
 - 5 Orthoconglomérat oligomictique.
 - 6 Paroconglomérat.
 - 7 Microconglomérats arkosiques et subarkosiques (> 15% feldspaths).
 - 8 Microconglomérats quartziques et feldspathiques (< 15% feldspaths).
 - 9 Grès arkosique et subarkosique (> 15% feldspaths).
 - 10 Grès feldspathiques (5 à 15% de feldspaths).
 - 11 Orthoquartzite (< 5% feldspaths).
 - 12 Siltstones et argilles.
 - 13 Grès à 2 granulométries.
 - 14 Dolomie gréseuse.
 - 15a Gabbro d'Ottish frais.
 - 15b Gabbro d'Ottish altéré.
 - 16 Diatexite post-bassin.
-
- Zones d'affleurements et affleurement.
 - Contacts géologiques sur zone d'affleurement.
 - Extrapolations des contacts hors affleurements.
 - ⊕ Faille { nature du rejet horizontal.
 - ⊗ ⊕ Mouvements verticaux, respectivement surrection et effondrement.
-
- Extrapolations de faille.
 - Fractures déduites de la photogéologie.
 - ⊕ Anticlin.
 - ⊗ Synclin.
 - Fracture ouverte (Qz + talpissée de quartz).
 - a/b/c/d Direction-pendage des couches: a) mesuré b) indéterminé c) horizontal d) pendage vertical.
 - a/b/c/d Direction-pendage des clivages: a) mesuré b) indéterminé c) pendage vertical.
 - Direction-pendage du clivage de fractures dans le gabbro.
 - Direction de strie - plongement mesuré.
 - Direction de paléocourant.
 - Direction de strie glacière.
 - Esker.
 - Limite de permis.
 - A-A Coupe géologique.
 - a/b/c/d Anomalies en place: a) uraniumifère, b) thorifère, c) indétérminées.
 - ⊗ ⊕ Anomalies en blocs: a) uraniumifère, b) thorifère, c) indétérminées.
 - x x Localisation d'anomalies rattachées aux précédentes.
 - T₁ Tranchée 1.
 - Station d'affleurement et traverse géologique.
 - Station de blocs.
 - Cône de dispersion de train de blocs majeur.

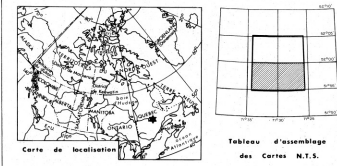
LÉGENDE

- Lac ou Étang
- Cour d'eau
- Cour d'eau imprécis
- Montagne
- Courbes de niveau
- Courbe de cuestas
- Point cote

Équidistance des courbes 5 mètres

La Déclinaison Magnétique pour 1980 est de 23°08' à l'Ouest du Nord Géographique
La Variation Annuelle est décroissante de 6,27 par Année

Triangulation aéroterme dérivant de photographies aériennes à l'échelle 1:31.680
Triangulation aéroterme de photographies à l'échelle 1:60.000



Échelle: 1:10.000

SERU NUCLEAIRE CANADA LIMITEE
PROJET MONTS-OTISH
S.E.R.U.-M.E.R.

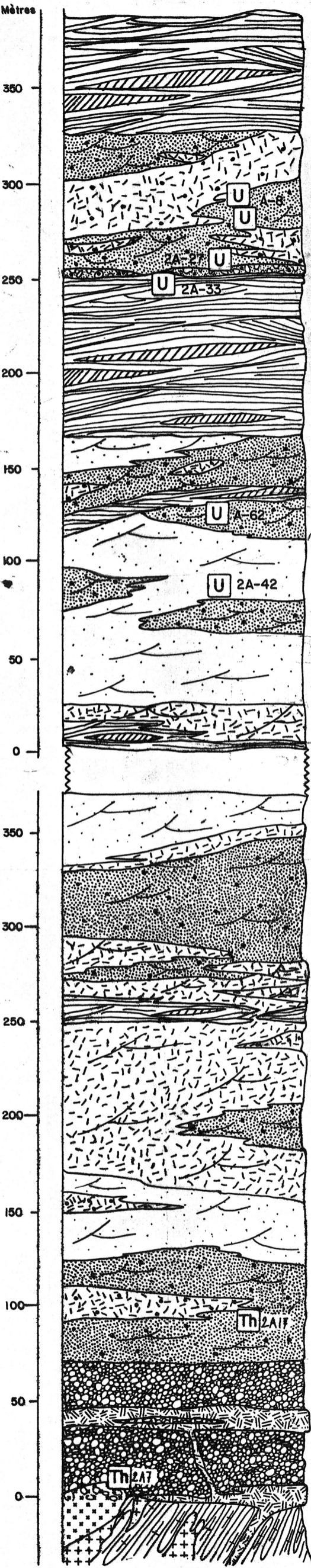
CARTE GÉOLOGIQUE
PROPRIÉTÉ "G" SUD
MRN-GÉOINFORMATION 2000
GM 57684

COLONNE STRATIGRAPHIQUE DE "G"

Echelle : 1 / 2,000

MRN-GÉOINFORMATION 2000

GM 57684

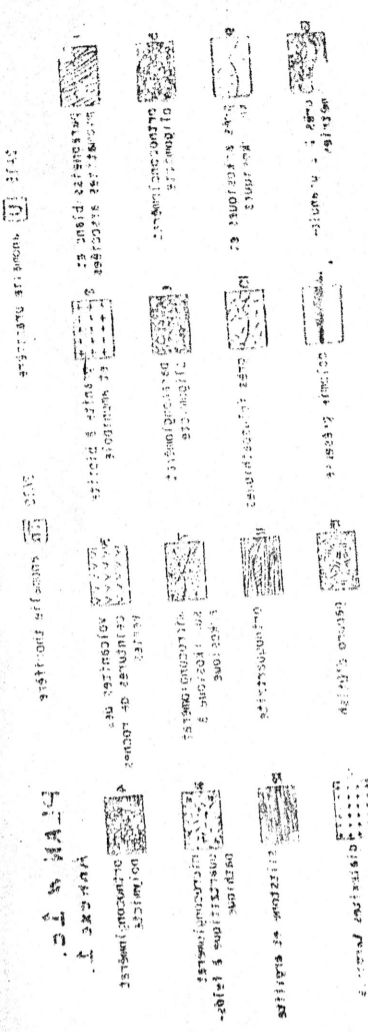


FACIES OXYDES:

- Orthoquartzites laminés avec de fréquentes stratifications planes entrecroisées.
 - . lentilles à stratifications tabulaires
 - . coloration rosée à rouge bien marquée
- Grès feldspathiques, grain moyen à grossier, au sein de microconglomérats subarkosiques à arkosiques.
 - A la base, niveau discontinu de paraconglomérat (ϕ : 5-8 cm) à galets de quartz et quartzite, ravinant:
- Un puissant épisode orthoquartzitique. Litage décimétrique et laminations centi à millimétriques-généralisés.
 - . stratifications entrecroisées
 - . lentilles (hectométriques) à stratifications tabulaires.
- Grès subarkosiques passant rapidement à des niveaux microconglomératiques traversés par un épisode décimétrique mais continu orthoquartzitique.
- Niveaux gréseux subarkosiques à arkosiques chenalisants, émaillés de lentilles microconglomératiques. Net panachage des couleurs (vert - rouge lie-de-vin).
- A la base, grès feldspathiques passant latéralement à des orthoquartzites.

FACIES VERTS: (couleur blanc verdâtre - pas de galets d'orthoquartzite)

- Episode subarkosique, passées subarkosiques à arkosiques, microconglomératique à la base, grès grossier au sommet traversé par un épisode de grès feldspathique.
- Grès feldspathique lité présentant:
 - . dans le tiers supérieur, une évolution orthoquartzitique,
 - . dans le tiers inférieur, des passées microconglomératiques subarkosiques.
- Grès subarkosiques à arkosiques passant constamment à des:
 - . microconglomérats chenalisants, subarkosiques à arkosiques, localement feldspathiques.
- Orthoconglomérat polymictique à galets décimétriques très arrondis. Composition: 80% granite - 15% volcanite - 5% quartz. Matrice (20%) très chloritisée et feldspathique. Présence de pyrite.
 - . Au sommet, passage graduel.
 - . A la base, discordance sur socle qui peut être occupée par des sills de gabbro d'Otish.
- Socle granito-gneissique avec des diatexites développées sur la faille Pluto.



PLAN # 1c.

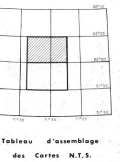
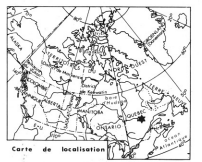
Annexe 1.

1	paraquartzite et migmatites associées	2	granite à biotite et amphibole	3	volcanites des ceintures de roches vertes	4	orthoconglomérat polymictique	5	orthoconglomérat oligomictique	6	grès feldspathiques	7	microconglomérat subarkosique à arkosique	8	microconglomérat quartzitique à feldspathique	9	orthoquartzite	10	diatexites tardives
11	grès arkosiques et subarkosiques	12	gabbro d'Otish	13	dolonite gréseuse	14	siltstone et argilite	15	diatexites tardives	16	diatexites tardives	17	diatexites tardives	18	diatexites tardives	19	diatexites tardives	20	diatexites tardives

LEGENDE GEOLOGIQUE:

2A15 U anomalie uranifère

2A10 M anomalie thorifère

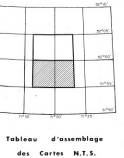
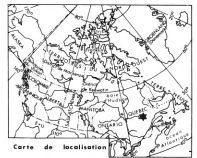


Echelle : 1:10,000

SERU NUCLEAIRE CANADA LIMITEE
 PROJET MONTS-OTISH
 S.E.R.U.-M.E.R.

COURSES ET STATIONS
 MRN-GÉOINFORMATION 2000
 GM 57684

Projet ATLANTIC AIR SURVEY en Mai 1980 Dessiné par
 Ce plan est joint au rapport No. B005-22 de l'Annexe I Plan No 1d

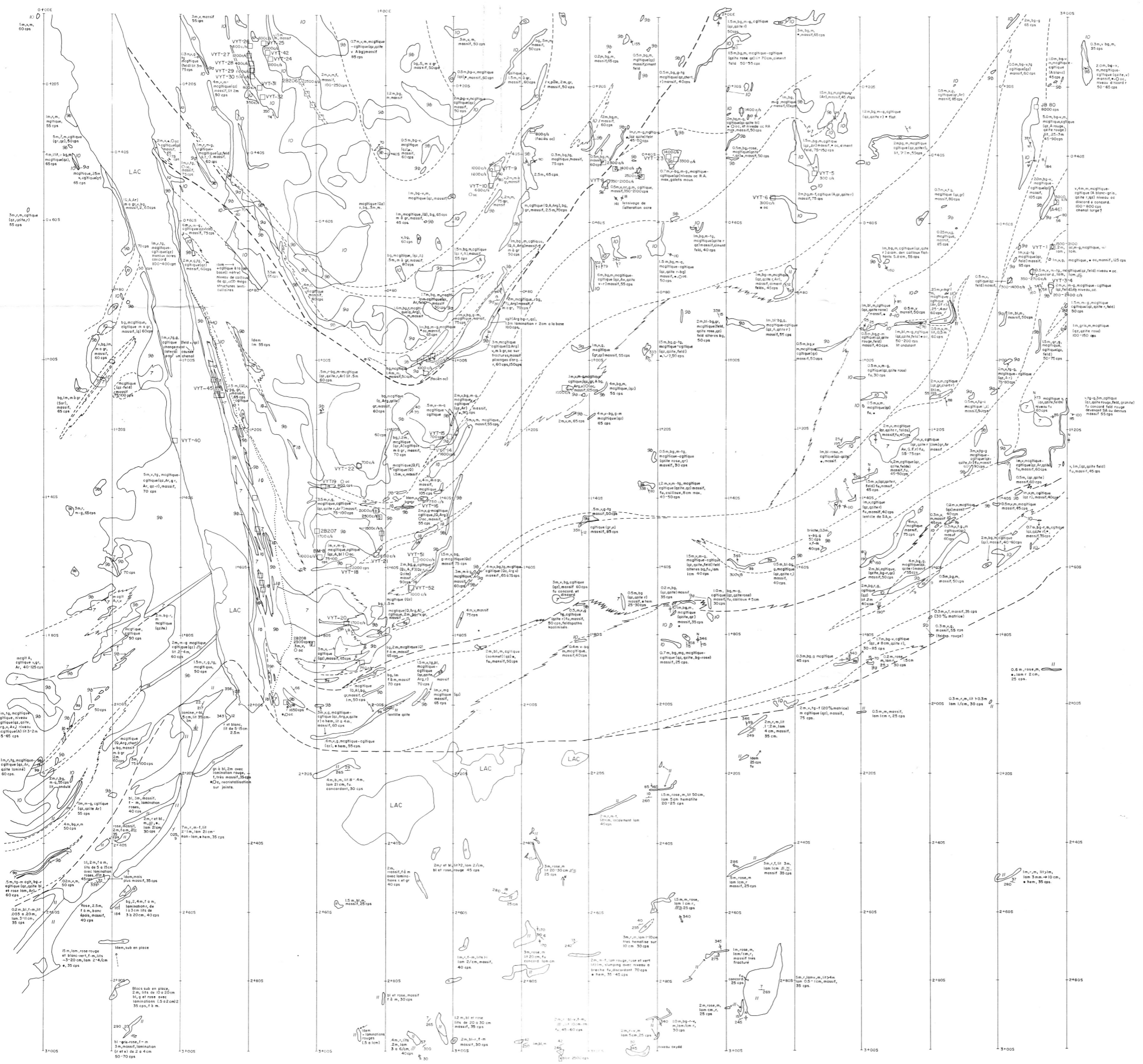


Echelle : 1:10,000

SERU NUCLEAIRE CANADA LIMITEE
PROJET MONTS-OTISH
S.E.R.U.-M.E.R.

COUPES ET STATIONS
MRN-GÉOINFORMATION 2000
GM 57684

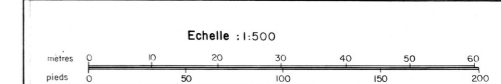
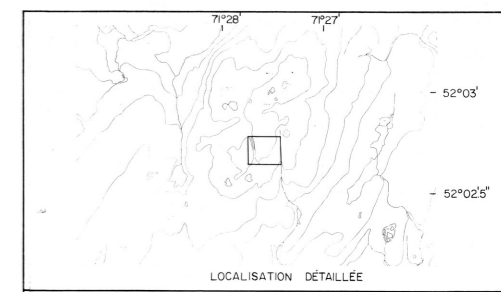
Préparé par ATLANTIC AIR SURVEY en Mai 1980 Dessiné par
Ce plan est joint au rapport No. 8055-22 de l'Annexe I Plan No 18



- LÉGENDE**
- Base de séquence principale.
 - - - - Base de séquence secondaire.
 - Bordure d'escarpement.
 - Direction glaciaire.
 - ↗ Direction de courant.
 - ↘ Diaclose.
 - ↖ Direction et pendage.
 - VVT-57
 - 1.5m Epaisseur en mètre.
 - v Vert
 - bs Beige
 - r Rouge
 - rose Rose
 - f Fin
 - m Moyen
 - g Grossier
 - tg Très grossier
 - cg Conglomératique
 - mc Microconglomératique
 - flot Cailloux flottant
 - qtz, arg, vert, quartzite, quartzite rouge, grès, arkose
 - concord - discord
 - Occ Tache ocre
 - hem, fu Tache d'hématite, fuschite (ou hem)
 - U Cuillère
 - massif Massif
 - Stratification entrecroisée, oblique
 - 50cps Radiométrie

- LITHOLOGIE**
- II ORTHO QUARTZITE
 - IO GRÈS FELDSPATHIQUE
 - 9b SUB-ARKOSE
 - 9a ARKOSE
 - 7 MICROCONGLOMÉRAT ARKOSIQUE ET SUB-ARKOSIQUE

MRN-GÉOINFORMATION 2000
GM 57684
 MICROCONGLOMÉRAT ARKOSIQUE ET SUB-ARKOSIQUE

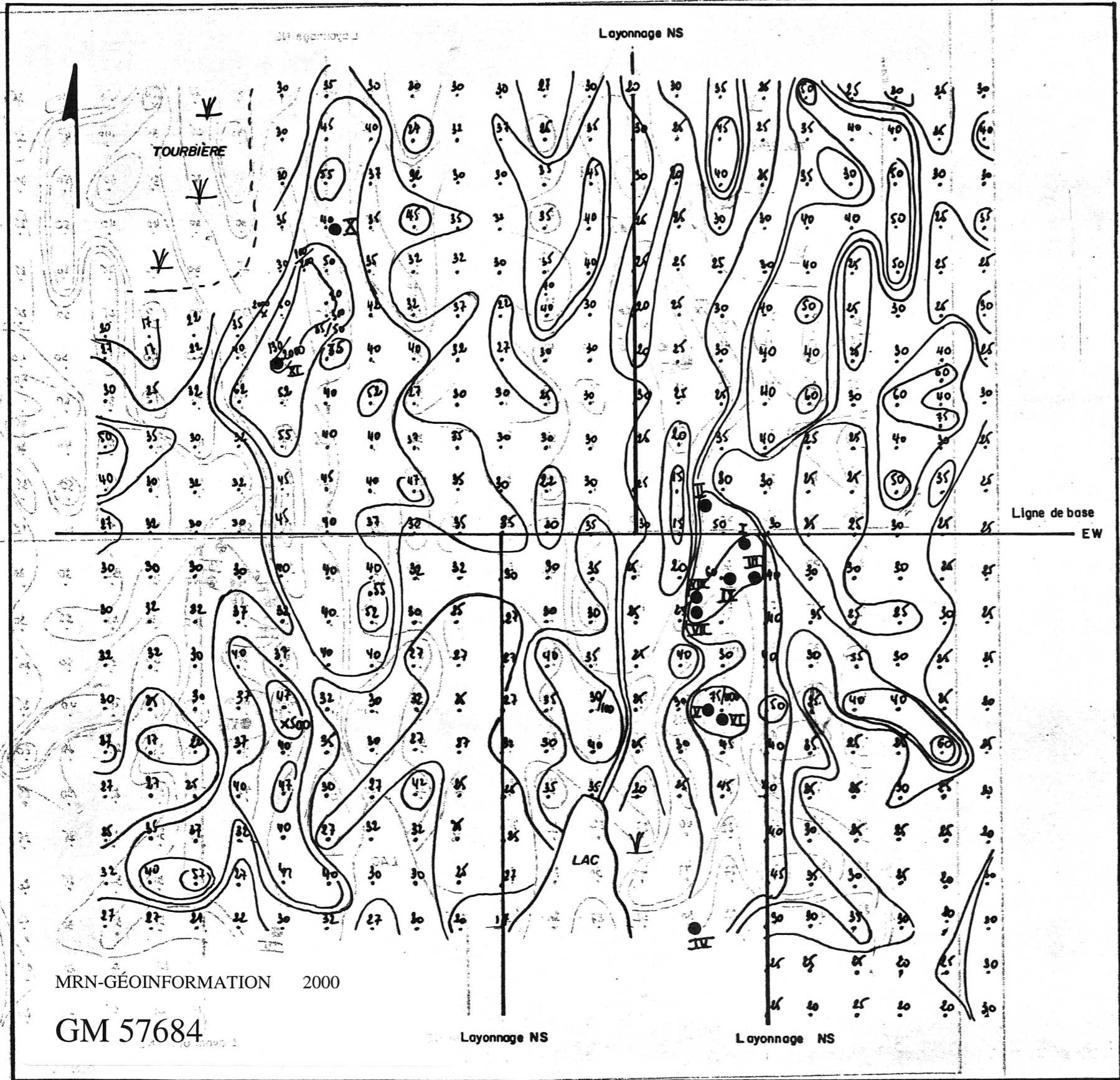


SERU NUCLEAIRE CANADA LIMITEE

PROJET MONTS OTISH

CARTE GÉOLOGIQUE DÉTAILLÉE
 DE L'ANOMALIE A-8
 (PROPRIÉTÉ "G")

Interpretation par : M.G. et R.S.J.-le: II-80 Dessine par: Michel Lavallée le: II-80
 Ce plan est joint au rapport No. 8055-22 Annexe I **Plan No 2**



LEGENDE

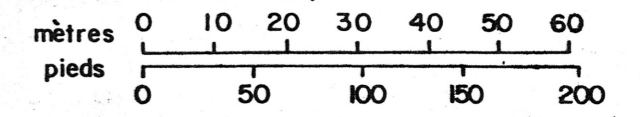
- Anomalies ● I station A 4 10,000 cps SPP₂
- II station A 5 750 cps
- III station A 3 4,200 cps
- IV bloc CM 3,000 cps
- V bloc CM 1,000 cps
- VI station AG 1,100 cps
- VII station A 1 2,000 cps
- VIII station AOS-10 2,000 cps
- IX station AB 4
- X bloc 2T53

Nouvelle anomalie en place XI 2,500 cps

- ☐ < 17
- ☐ 17 - 20
- ☐ 22 - 27
- ☐ 30 - 32
- ☐ 35 - 37
- ☐ 40 - 45
- ☐ 47 - 75
- ☐ > 75

● Anomalie

ECHELLE 1/1,000



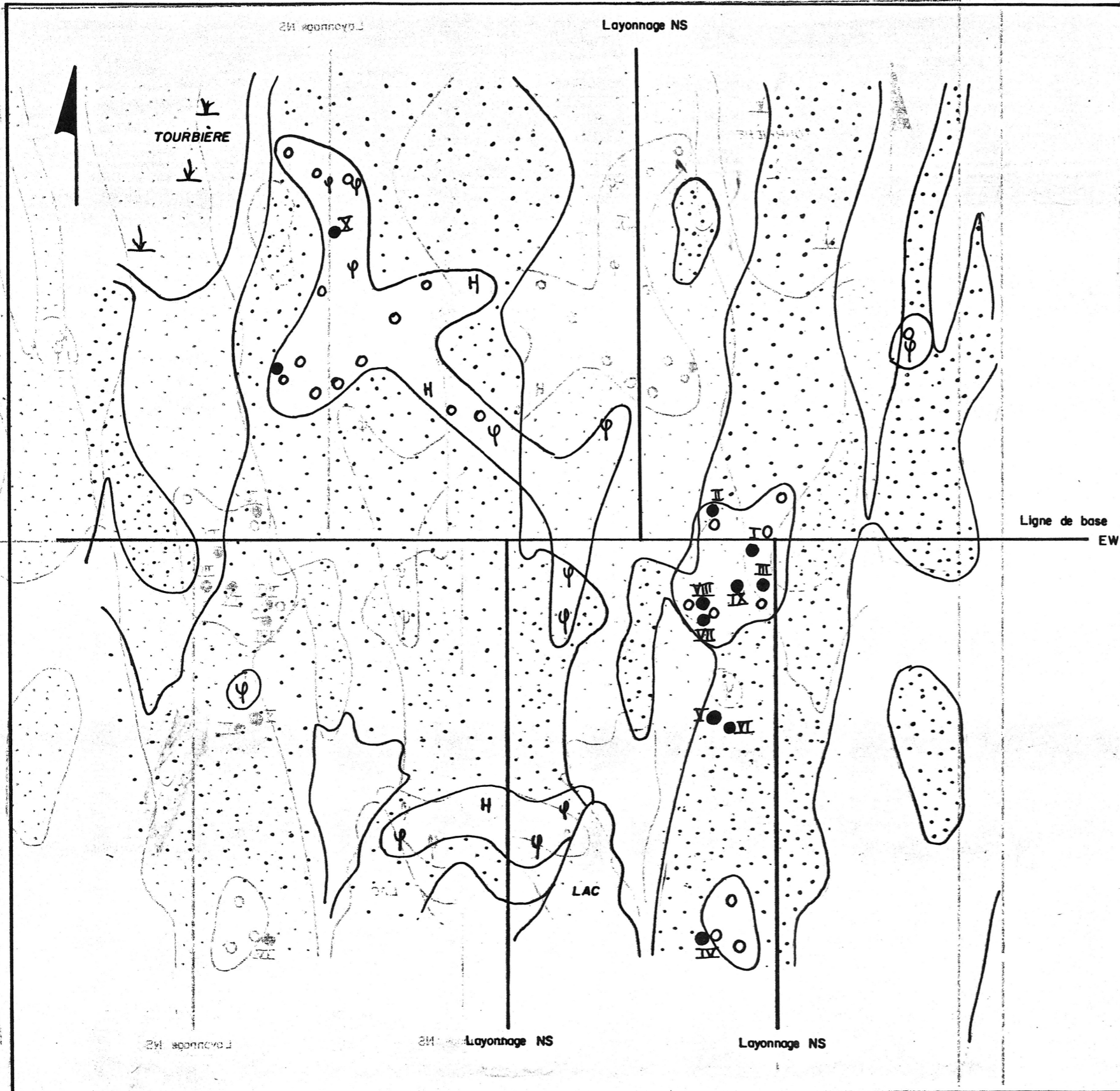
MRN-GÉOINFORMATION 2000

GM 57684

SERU NUCLEAIRE CANADA LIMITEE
PROJET MONTS - OTISH


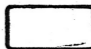
RADIOMETRIE FINE 10x10m
 DONNEE BRUTE ZONEOGRAPHIE

Interprétation et dessin P.Caumartin, A.Girard le 9-8-80
 Rapport no. 8055-22 Annexe 1 Plan no. 3 a




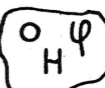


LEGENDE

FORMATIONS SUPERFICIELLES

-  Zone affleurante
-  Tourbière Sol hydromorphe Podzol

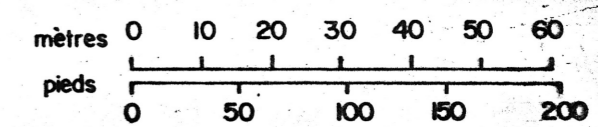
ANOMALIES MINERALES DE LA LITHOLOGIE

-  Altération ocre
-  Concentration en hematite
-  Concentration en fuchiste
-  Zonéographie autour de ces anomalies

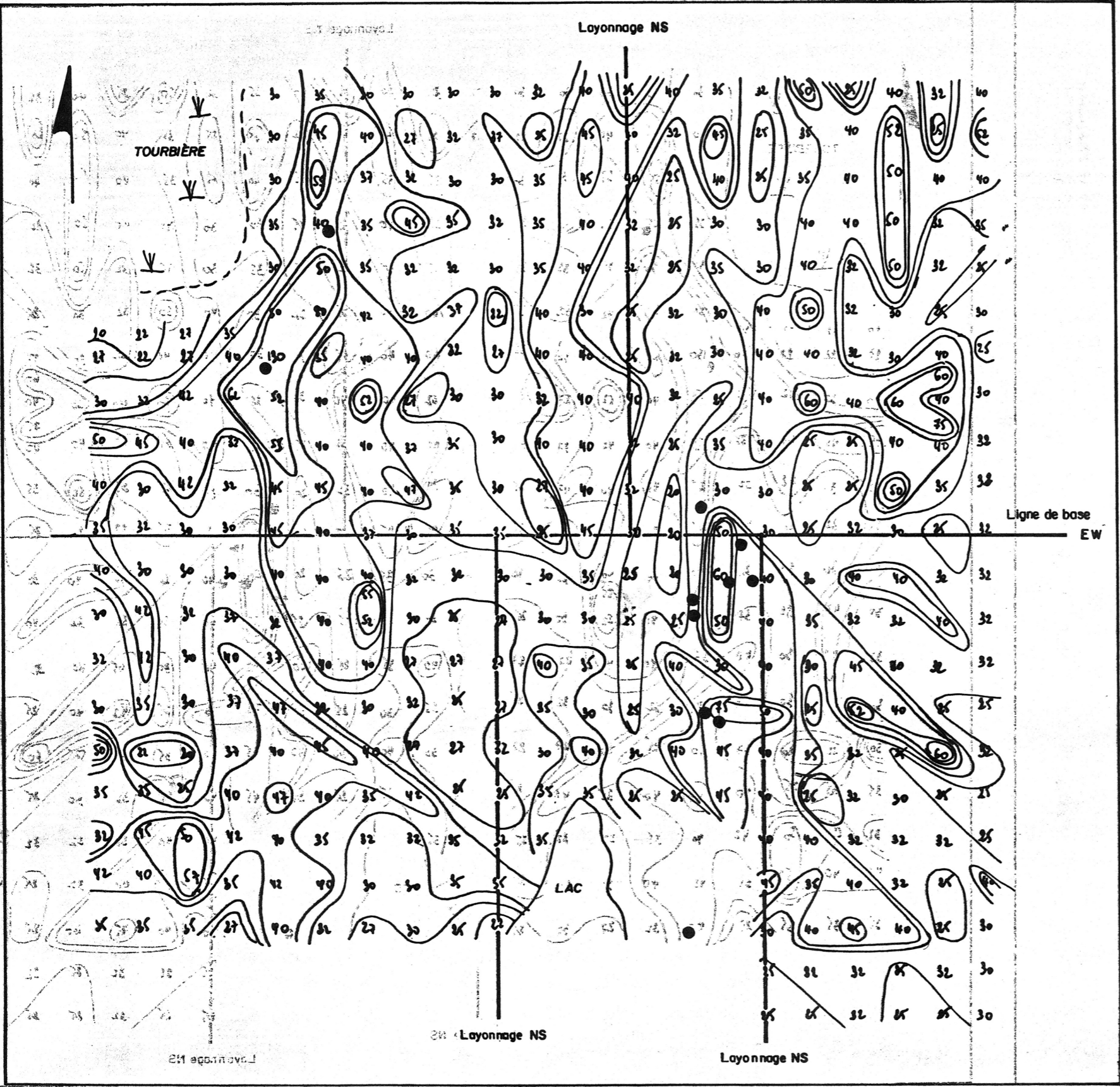
MRN-GÉOINFORMATION 2000

GM 57684

ECHELLE 1/1,000



SERU NUCLEAIRE CANADA LIMITEE
PROJET MONTS - OTISH
ANOMALIE A62
ETUDE DETAILLEE
- FORMATIONS SUPERFICIELLES - RELEVÉ DES ANOMALIES MINERALES ET DE LA LITHOLOGIE
Interprétation et dessin P.Caumartin, A.Girard le 9-8-80
Rapport no. 8055-22 Annexe 1 Plan no. 3b



LEGENDE

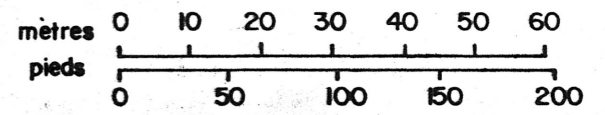
- 20 - 22 cps SPP₂
- 25 - 27 cps
- 30 - 32 cps
- 35 - 37 cps
- 40 - 42 cps
- 45 - 47 cps
- 50 et plus cps

- Anomalie

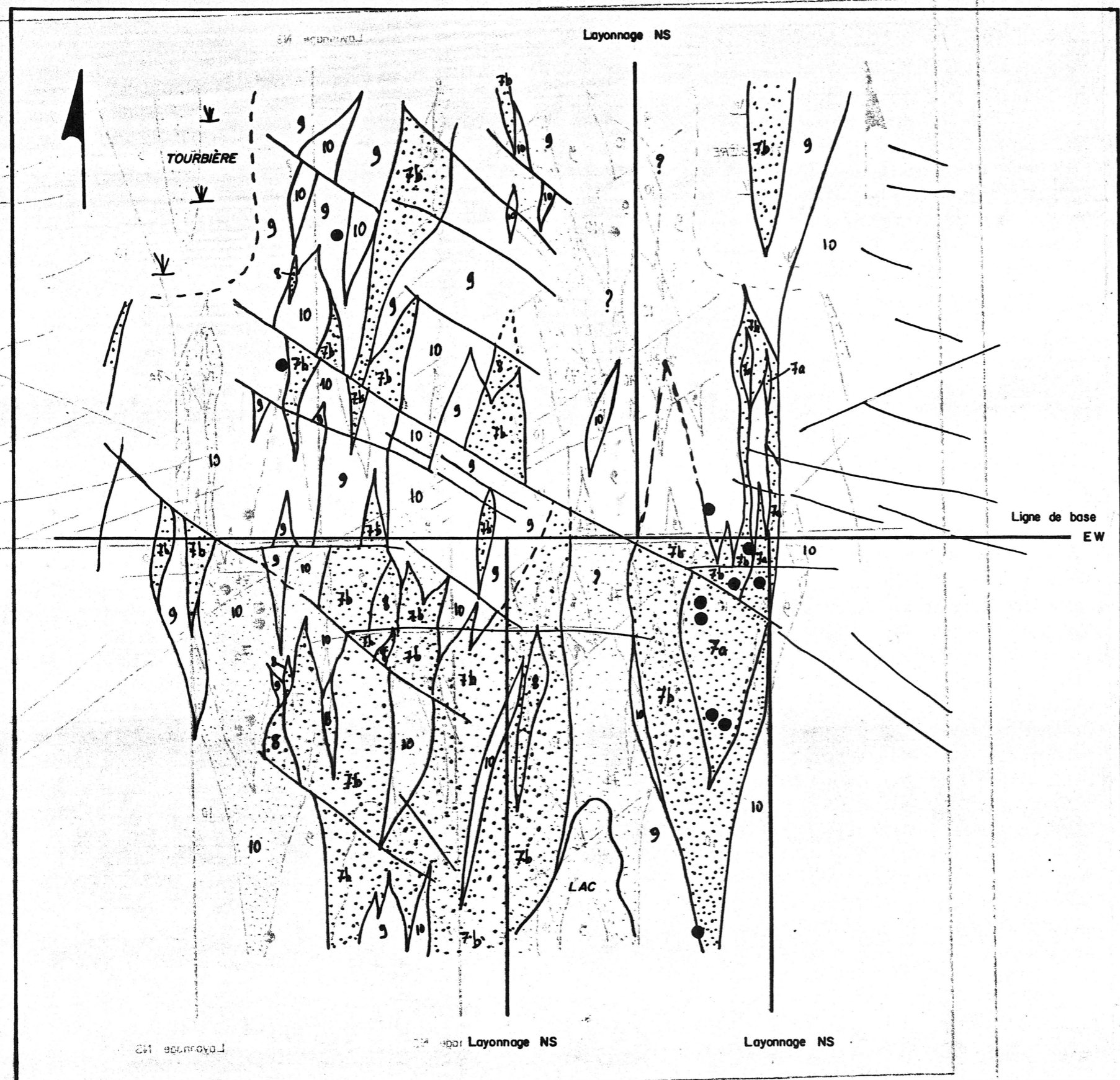
MRN-GÉOINFORMATION 2000

GM 57684

ECHELLE 1/4,000



SERU NUCLEAIRE CANADA LIMITEE
PROJET MONTS - OTISH
RADIOMETRIE FINE (10x10m.) DONNEE CORRIGEE (EFFET DE SOL DEDUIT)
Interprétation et dessin P. Caumartin, A. Girard le 9-8-80
Rapport no. 8055-22 Annexe 1 Plan no. 3c



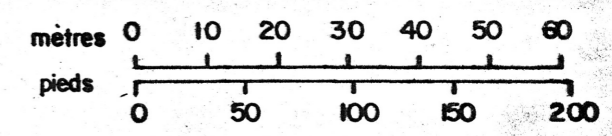
LEGENDE

- 7a Microconglomerat arkosique
- 7b Microconglomerat subarkosique
- 8 Microconglomerat feldspathique
- 9 Gres subarkosique
- 10 Gres feldspathique
- Anomalie
- Principale fracture

MRN-GÉOINFORMATION 2000

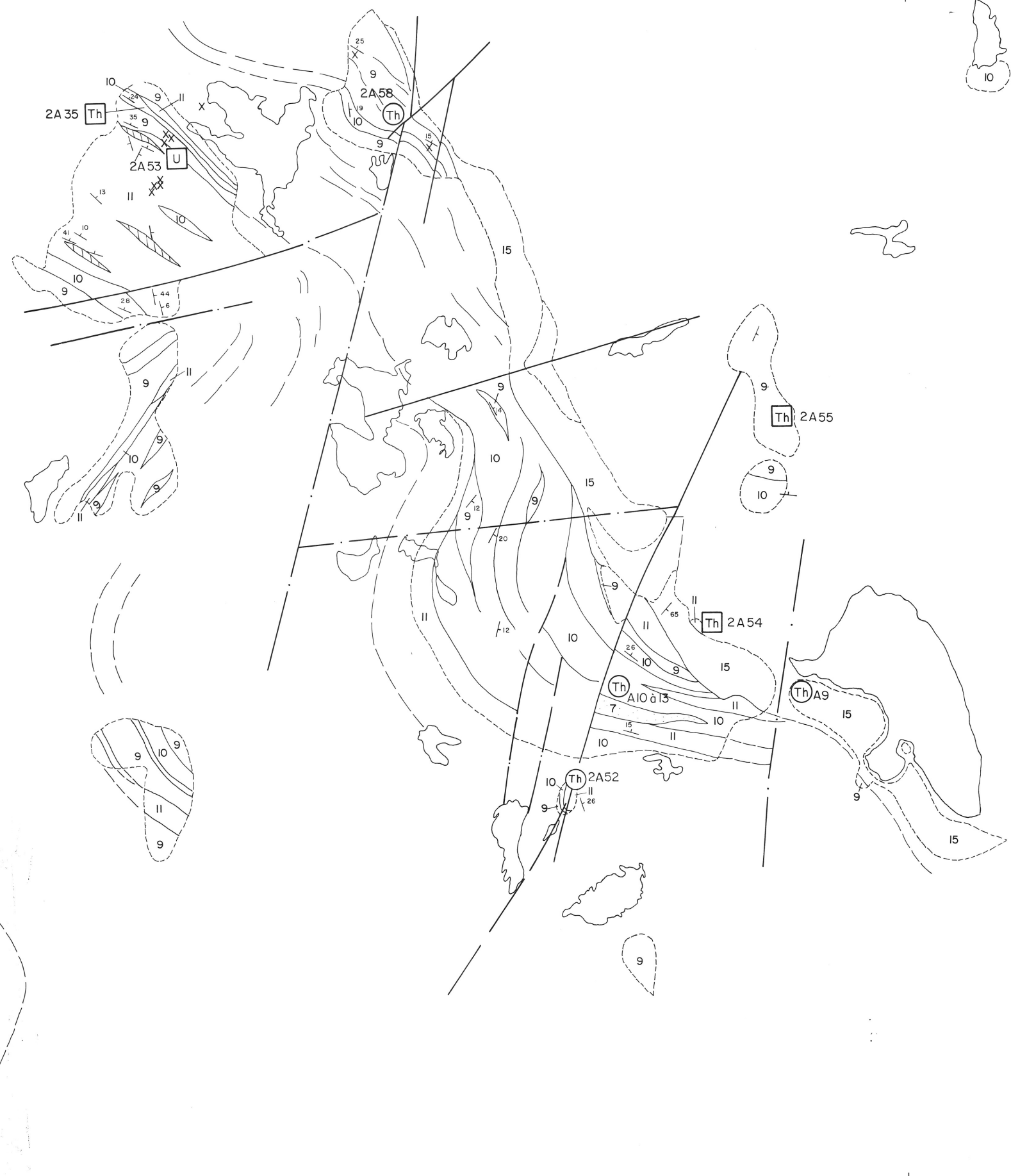
GM 57684

ECHELLE 1/1,000



SERU NUCLEAIRE CANADA LIMITEE
PROJET MONTS - OTISH
ANOMALIE A62 GEOLOGIE FINE
Interprétation et dessin P.Caumartin, A.Girard le 9-8-80
Rapport no. 8055-22 Annexe 1 Plan no. 3d

71°20'



52°20'

52°20'

71°20'

LÉGENDE

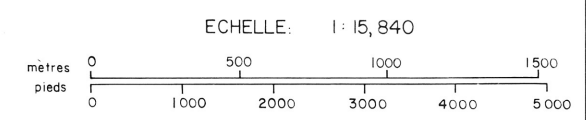
- 1 Paragneis et migmatites associées.
- 2 Granite rose à biotite et amphibole.
- 3 Volcanites des ceintures de roches vertes.
- 4 Orthoconglomérat polymictique; conglomérat de base.
- 5 Orthoconglomérat oligomictique.
- 6 Paraconglomérat
- 7 Microconglomérats arkosiques et subarkosiques (> 15% feldspaths).
- 8 Microconglomérats quartziques et feldspathiques (< 15% feldspaths).
- 9 Grès arkosique et subarkosique (> 15% feldspaths).
- 10 Grès feldspathiques (5 à 15% de feldspaths).
- 11 a) Orthoquartzite (< 5% feldspaths). a) Lentille à stratification tabulaire
- 12 Siltstones et argillites.
- 13 Grès à 2 granulométries.
- 14 Dolomie gréseuse.
- 15 a) Gabbro d'Otish frais.
- 15 b) Gabbro d'Otish altéré.
- 16 Diatexite post-bassin.

- Zones d'affleurements et affleurement.
- Contacts géologiques sur zone d'affleurement.
- Extrapolations des contacts hors affleurements.
- Faille { nature du rejet horizontal.
- { ⊕ ⊖ : mouvements verticaux, respectivement surrection et effondrement.

- Extrapolations de faille.
- Fractures déduites de la photogéologie.
- Anticlinal.
- Synclinal.
- Fracture ouverte (Qz = tapissée de quartz)
- Direction-pendage des couches: a) mesuré b) indéterminé c) horizontal d) pendage vertical.
- Direction-pendage des clivages: a) mesuré b) indéterminé c) pendage vertical.
- Direction-pendage du clivage de fractures dans le gabbro.
- Direction de strie - plongement mesuré.
- Direction de paléocourant.
- Direction de strie glaciaire.
- Esker.

- Limite de permis.
- Coupe géologique.
- Anomalies en place: a) uranifère, b) thorifère, c) indéterminées.
- Anomalies en blocs: a) uranifère, b) thorifère, c) indéterminées.
- Localisation d'anomalies rattachées aux précédentes.
- Tranchée I.
- Station d'affleurement et traverse géologique.
- Station de blocs.
- Cône de dispersion de train de blocs majeur.

MRN-GÉOINFORMATION 2000
GM 57684



SERU NUCLEAIRE CANADA LIMITEE

PROJET MONTS-OTISH

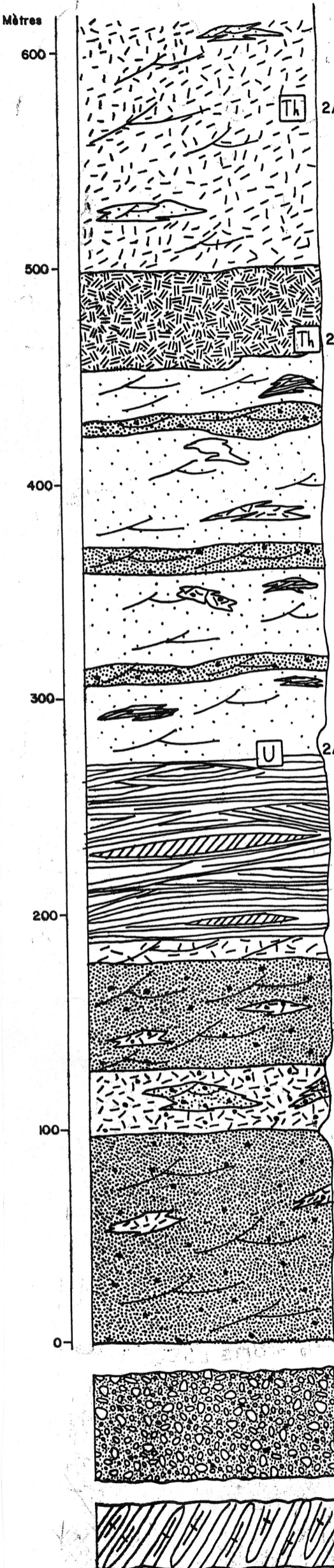
GEOLOGIE

SECTEUR "G" EST

COLONNE STRATIGRAPHIQUE DE L'EST DU "G"

Echelle : 1 / 2,000

PLAN # 4b
Annexe 1



FACIES OXYDES:

2A-55 - Grès feldspathique et subarkoses à grains moyens, cailloux flottants. Entrecroisement, cuillers.

2A-54 - Filon couche de gabbro discordant, zones altérées (épidotisés).

- Subarkoses et grès feldspathiques grossiers, verdâtres. Taches ocre et limonitisation témoignant d'une phase d'oxydation.

- Episodes microconglomératiques à cailloux flottants de quartz.

- Petites lentilles d'orthoquartzites surtout développées en base de séquence.

FACIES VERTS:

- Orthoquartzites à grains moyens, massifs et lités ou laminés, bancs, à stratifications tabulaires redressées, quelques intercalations feldspathiques.

Le sommet de la séquence montre un passage progressif des quartzites aux grès feldspathiques et subarkoses avec des passages microconglomératiques arkosiques.

- Subarkoses et arkoses microconglomératiques, cailloux flottants polygéniques, passages arkosiques à feldspathiques grossiers.

- Petites lentilles d'argilite réduites (verdâtres, beiges).

- Orthoquartzites grossiers à microconglomératiques passant latéralement à des arkoses et subarkoses microconglomératiques, galets polygéniques, enclaves d'argilite vertes contenant elles-mêmes des galets.

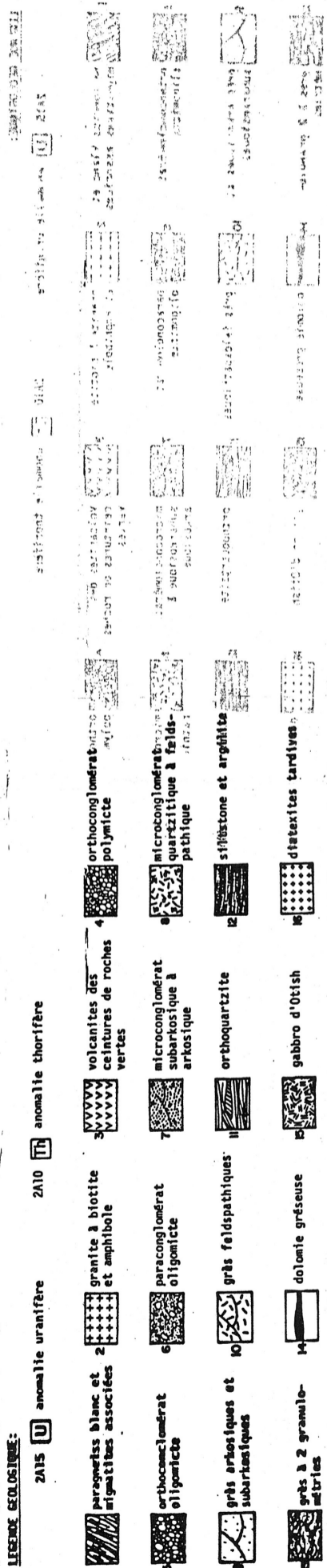
- Subarkoses et arkoses grossières localement microconglomératiques, cailloux polygéniques, lentilles d'argilite oxydée au centre, réduite en bordure. Passées de grès feldspathique grossier.

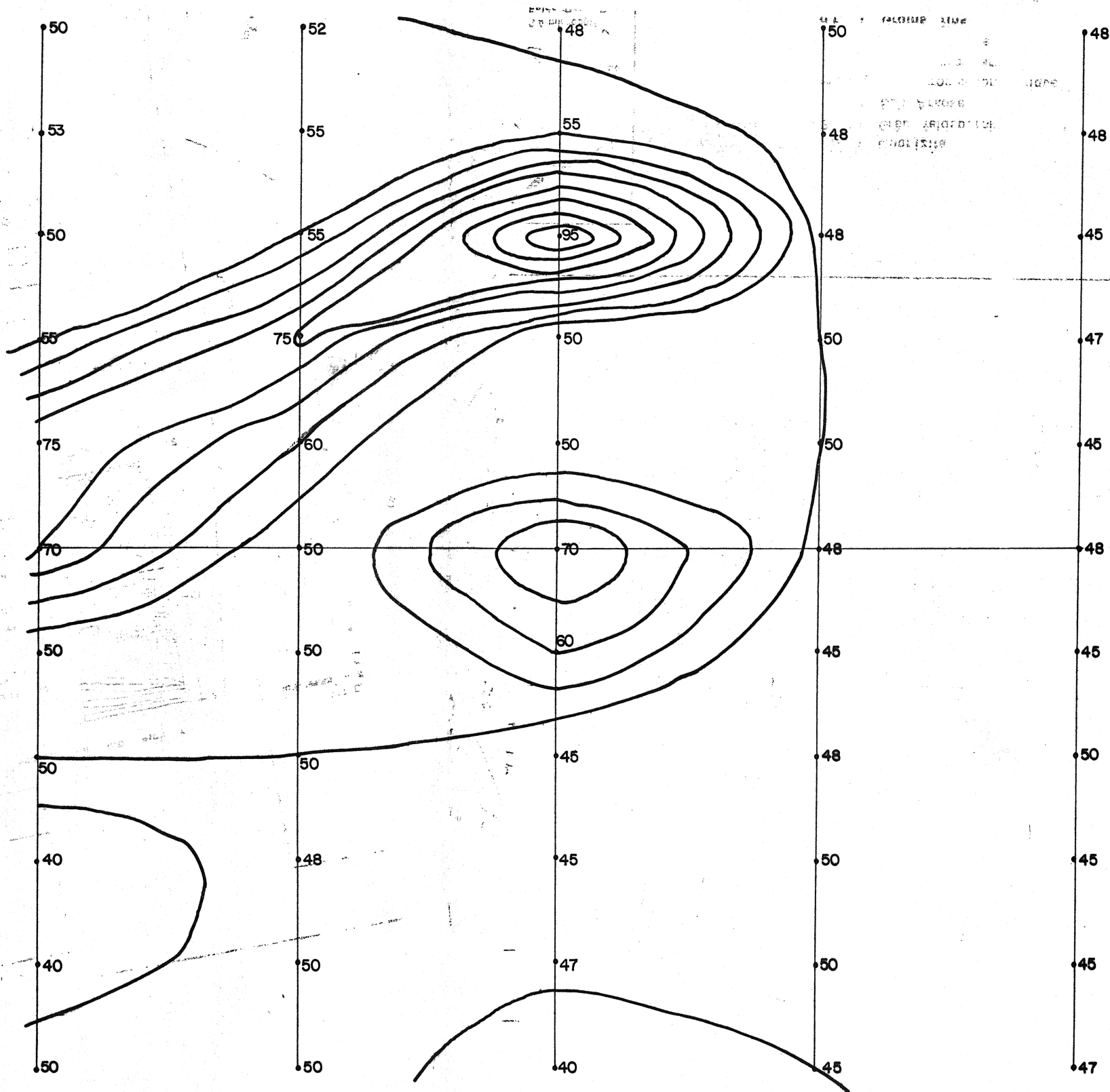
- Taches ocre disséminées.

- Paraconglomérat oligomictique, Matrice schistoïde. Galets de 3 à 4 cm.

SOCLE:

- Migmatites et paragneiss.





ECHELLE 1 / 500

MRN-GÉOINFORMATION 2000

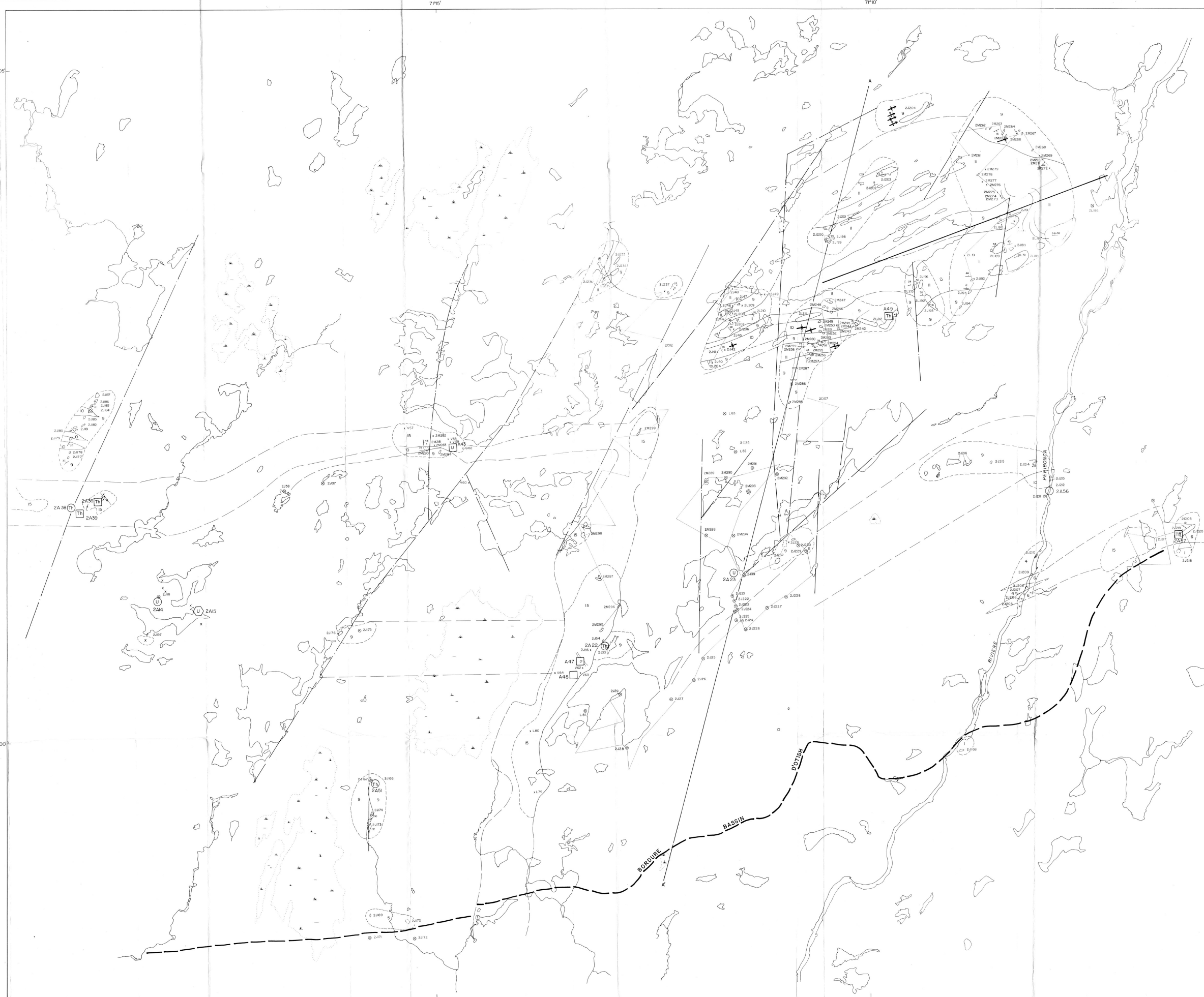
GM 57684

SERU NUCLEAIRE CANADA LIMITEE
PROJET MONTS - OTISH

PLAN COMPTEUR 2A-53

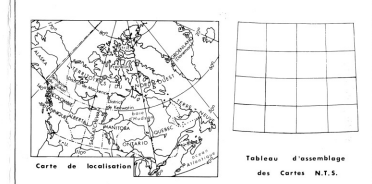
Courbes isocompte espacées
aux 5cps

Rapport No. 8055-22 Annexe I | Plan No. 5b



LÉGENDE

- 1 Paragneiss et migmatites associées.
 - 2 Granite rose à biotite et amphibole.
 - 3 Volcanites des ceintures de roches vertes.
 - 4 Orthoconglomérat polymictique; conglomérat de base.
 - 5 Orthoconglomérat oligomictique.
 - 6 Paraconglomérat.
 - 7 Microconglomérats arkosiques et subarkosiques (> 15% feldspaths).
 - 8 Microconglomérats quartziques et feldspathiques (< 15% feldspaths).
 - 9 Grès arkosique et subarkosique (> 15% feldspaths).
 - 10 Grès feldspathiques (5 à 15% de feldspaths).
 - 11 Orthoquartzite (< 5% feldspaths).
 - 12 Siltstones et argillites.
 - 13 Grès à 2 granulomètres.
 - 14 Dolomie gréseuse.
 - 15 a Gabbro d'Otish frais.
 - 15 b Gabbro d'Otish altéré.
 - 16 Diatexite post-bassin.
- Zones d'affleurements et affleurement.
- Contacts géologiques sur zone d'affleurement.
- Extrapolations des contacts hors affleurements.
- Faille { nature du rejet horizontal.
- (↑/↓) mouvements verticaux, respectivement surrection et effondrement.
- Extrapolations de faille.
- Fractures déduites de la photogéologie.
- ⊕ Anticlinal.
- ⊖ Synclinal.
- Fracture ouverte (Qz + tapissée de quartz)
- a) b) / c) Direction-pendage des couches: a) mesuré b) indéterminé c) horizontal d) pendage vertical.
- a) / b) / c) Direction-pendage des clivages: a) mesuré b) indéterminé c) pendage vertical.
- ↘ Direction-pendage du clivage de fractures dans le gabbro.
- ↘ Direction de strie - plongement mesuré.
- ↘ Direction de paléocourant.
- ↘ Direction de strie glaciaire.
- Esker.
- Limite de permis.
- Coupe géologique.
- a) b) c) Anomalies en place: a) uranifère, b) thorifère, c) indéterminées.
- Marécage anormal.
- a) b) c) Anomalies en blocs: a) uranifère, b) thorifère, c) indéterminées.
- x x Localisation d'anomalies rattachées aux précédentes.
- Tranchée I.
- Station d'affleurement et traverse géologique.
- 214 Station de blocs.
- Cône de dispersion de train de blocs majeur.



Echelle : 1 / 15,840

mètres 0 100 500 1000 1500 2000 2500 3000 3500 4000 4500 5000 6000

feet 0 100 500 1000 1500 2000 2500 3000 3500 4000 4500 5000 6000

SERU NUCLEAIRE CANADA LIMITEE

PROJET MONTS-OTISH

GEOLOGIE

SECTEUR 2A-23

MRN-GÉOINFORMATION 2000

GM 57684

Interprétation par: _____ Dessiné par: _____

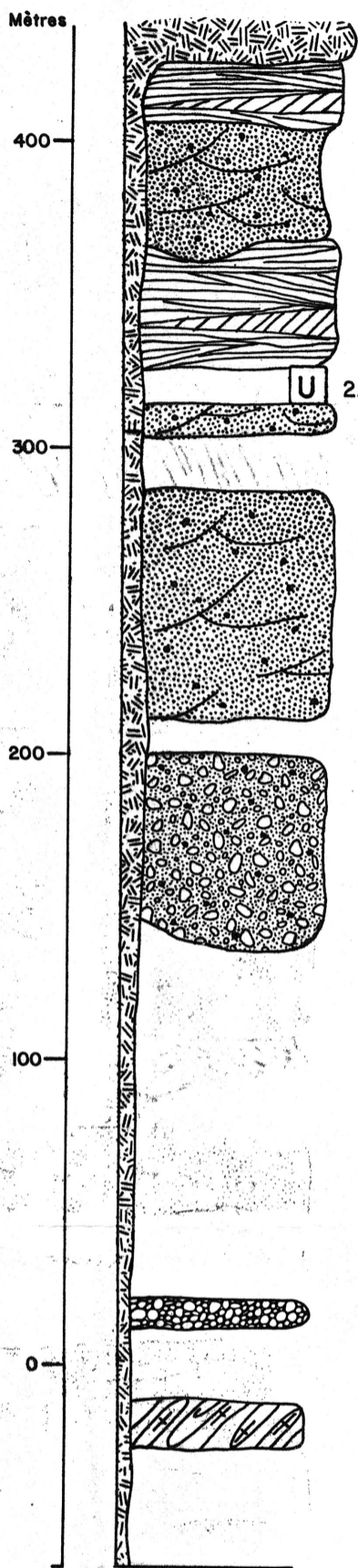
Ce plan est joint au rapport No. 8055-22 de Annexe 1 **Plan No 6 a.**

COLONNE STRATIGRAPHIQUE DE LA REGION DE L'ANOMALIE 2A-23

Echelle : 1/2,000

MRN-GÉOINFORMATION 2000

GM 57684



-Gabbro d'Otish recoupant toutes les unités de la formation ainsi que le socle.

-Grès feldspathique oxydé, conglomératique à cailloux flottants.

-Sub-arkose et arkose conglomératique et microconglomératique vert et rose.

Orthoquartzite rose à ciment feldspathique et siliceux. Taches d'oxydation fréquentes. Stratifications tabulaires très redressées.

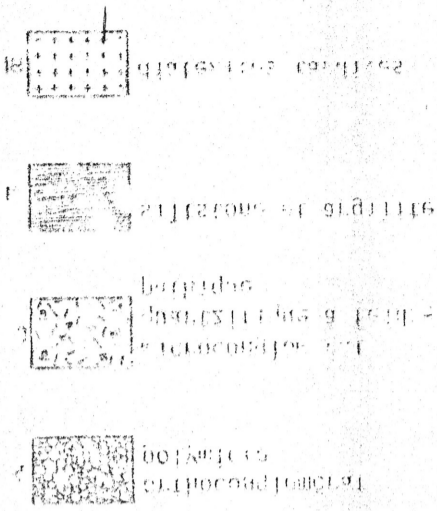
Sub-arkose vert à passées de paraconglomérat oligomictite à cailloux de quartz. Taches ocres. U/Th: 0.6

Sub-arkose vert conglomératique à cailloux de quartz, feldspaths, quartzite. Taches ocres.

Paraconglomérat polymictite à cailloux de quartz, quartzite, chert, volcanite acide, très schistosée. Passées de sub-arkose beige, conglomératique. Taches ocres.

Ortho et paraconglomérat oligomictite à cailloux de quartz. Très schistosé. Matrice sériciteuse. Cailloux aplatis, quelques galets mous verts.

Granite rose, massif, pegmatitique par endroits.



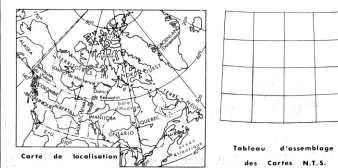
PLAN # 66
Annexe 1

LEGENDE GEOLOGIQUE:

2A15	U	anomalie uranifère	2A10	Th	anomalie thorifère
1		paragneiss blanc et migmatites associées	2		granite à biotite et amphibole
3		volcanites des ceintures de roches vertes	4		orthoconglomérat polymictite
5		orthoconglomérat oligomictite	6		paraconglomérat oligomictite
7		microconglomérat subarkosique à arkosique	8		microconglomérat quartzitique à feldspathique
9		grès arkosiques et subarkosiques	10		grès feldspathiques
11		orthoquartzite	12		siltstone et argilite
13		grès à 2 granulométries	14		dolomie gréseuse
15		gabbro d'Otish	16		diatexites tardives



- LÉGENDE**
- 1 Paragneiss et migmatites associées.
 - 2 Granite rose à biotite et amphibole.
 - 3 Volcanites des ceintures de roches vertes.
 - 4 Orthoconglomérat polymictique; conglomérat de base.
 - 5 Orthoconglomérat oligomictique.
 - 6 Paraconglomérat.
 - 7 Microconglomérats arkosiques et subarkosiques (>15% feldspaths).
 - 8 Microconglomérats quartziques et feldspathiques (<15% feldspaths).
 - 9 Grès arkosiques et subarkosiques (>15% feldspaths).
 - 10 Grès feldspathiques (5 à 15% feldspaths).
 - 11 Orthoquartzite (<5% feldspaths).
 - 12 Siltstones et argilites.
 - 13 Grès à 2 granulométries.
 - 14 Dolomite gréseuse.
 - 15a Gabbro d'Otish frais.
 - 15b Gabbro d'Otish altéré.
 - 16 Diatexite post-bassin.
- Zones d'affleurements et affleurement.
 - Contacts géologiques sur zone d'affleurement.
 - - - Extrapolations des contacts hors affleurements.
 - ⊕ Faille: — nature du rejet horizontal.
 - ⊕ ⊖ mouvements verticaux, respectivement surrection et effondrement.
 - - - Extrapolations de faille.
 - Fractures déduites de la photogéologie.
 - + Anticlinal.
 - Synclinal.
 - Fracture ouverte (Qz + tapissée de quartz).
 - a/b/c/a) Direction-pendage des couches: a) mesuré b) indéterminé c) horizontal d) pendage vertical.
 - a) / b) / c) Direction-pendage des clivages: a) mesuré b) indéterminé c) pendage vertical.
 - ↘ Direction-pendage du clivage de fractures dans le gabbro.
 - ↘ Direction de strie - plongement mesuré.
 - ↘ Direction de paléocourant.
 - ↘ Direction de strie glaciaire.
 - Esker.
 - Limite de permis.
 - Coupe géologique.
 - ⊕ ⊖ Anomalies en place: a) uranifère, b) thorifère, c) indéterminées.
 - ⊕ ⊖ Anomalies en blocs: a) uranifère, b) thorifère, c) indéterminées.
 - x x Localisation d'anomalies rattachées aux précédentes.
 - Tranchée I.
 - Station d'affleurement et traverse géologique.
 - ⊕ Station de blocs.
 - Cône de dispersion de train de blocs majeur.



Echelle: 1 / 15,840

metres 0 1000 2000 3000 4000 5000 6000

SERU NUCLEAIRE CANADA LIMITEE

PROJET MONTS-OTISH

GEOLOGIE
KERVESO
MRN-GÉOINFORMATION 2000
GM 57684

Interprétation par: [] Dessiné par: []

Ce plan est joint au rapport N°. 8055-22 de l'Annexe I **Plan N° 7 a**

COLONNE STRATIGRAPHIQUE "LAC KERVESO"

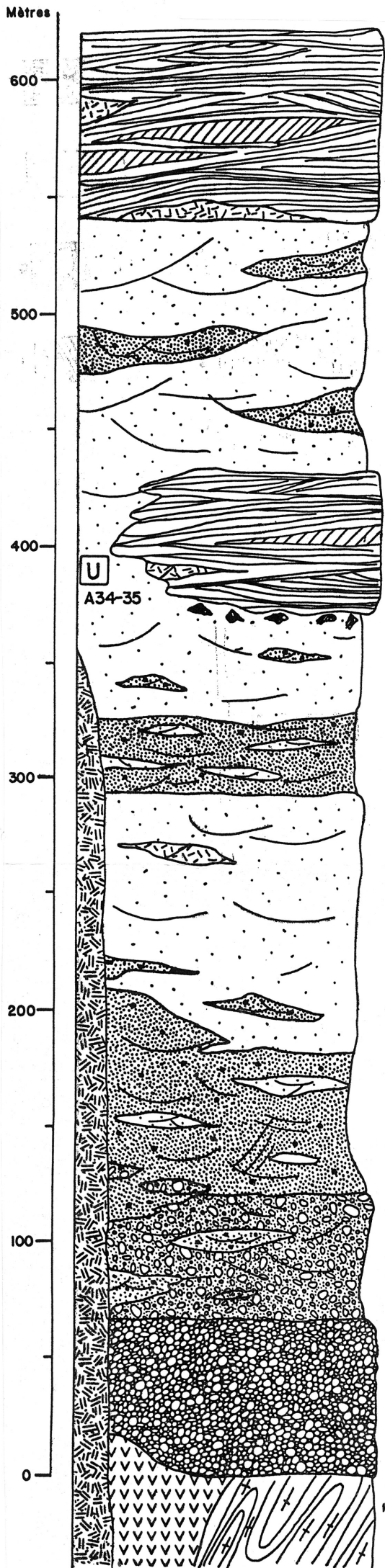
Echelle : 1 / 2,000

MRN-GÉOINFORMATION 2000

PLAN # 7b

Annexe 1

GM 57684



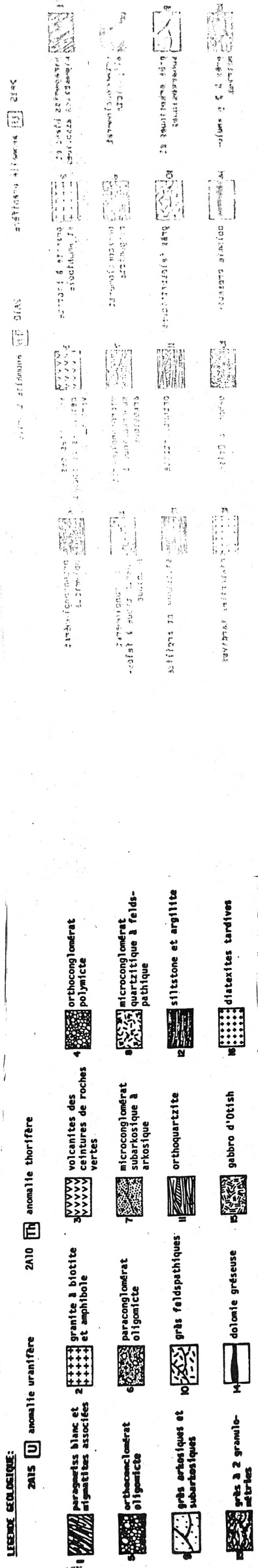
FACIES OXYDES:

- Orthoquartzites blanc rosé en bancs décimétriques présentant:
 - des niveaux de grès feldspathiques blancs et roses
 - des lentilles à stratification tabulaire
- Grès arkosiques et subarkosiques traversés de niveaux microconglomératiques à cailloux mous de siltstone et de grès.
- En passage latéral, orthoquartzite rose saumon avec des joints millimétriques d'argile brune. Laminations surtout nettes à la base.
- Immédiatement en-dessous des quartzites, dans les grès subarkosiques et arkosiques: blocs de chert beige, anguleux.
- Episode désordonné où se côtoient grès arkosiques, subarkosiques, orthoquartzites dans un microconglomérat subarkosique.

FACIES VERTS:

- Grès subarkosiques à arkosiques de grain moyen, avec au sommet, des lentilles de grès feldspathiques.
- Microconglomérat subarkosique à arkosique avec:
 - à la base, de nombreux noyaux conglomératiques;
 - au sommet, des lentilles de grès subarkosiques.
- Paraconglomérat à cailloux de quartz présentant de nombreux passages microconglomératiques.
- Orthoconglomérat à cailloux de quartz ($\phi = 2-3\text{cm}$) avec:
 - de rares galets de socle et de quartzite;
 - une matrice schistosée, verte (séricite).

- SOCLE:**
- composé de migmatites et d'une ceinture de roches vertes.
 - recoupé par un dyke de gabbro qui monte dans le bassin jusque dans les faciès oxydés.





LÉGENDE

- 1 Paragneiss et migmatites associées.
- 2 Granite rose à biotite et amphibole.
- 3 Volcanites des ceintures de roches vertes.
- 4 Orthoconglomérat polymictique; conglomérat de base.
- 5 Orthoconglomérat oligomictique.
- 6 Paraconglomérat.
- 7 Microconglomérats arkosiques et subarkosiques (>15% feldspaths).
- 8 Microconglomérats quartarques et feldspathiques (<15% feldspaths).
- 9 Grès arkosique et subarkosique (>15% feldspaths).
- 10 Grès feldspathiques (5 à 15% de feldspaths).
- 11 Orthoquartzite (<5% feldspaths).
- 12 Siltstones et argillites.
- 13 Grès à 2 granulomètres.
- 14 Dolomie gréseuse.
- 15a Gabbro d'Otish frais.
- 15b Gabbro d'Otish altéré.
- 16 Diatexite post-bassin.

- Zones d'affleurements et d'affleurement.
- Contacts géologiques sur zone d'affleurement.
- Extrapositions des contacts hors affleurements.
- ⊕ Faille { nature du rejet horizontal.
- ⊞ Mouvements verticaux, resserrement surcroûte et effondrement.
- Extrapositions de faille.
- Fractures déduites de la photogéologie.
- ⊕ Anticlinal.
- ⊞ Synclinal.
- Fracture ouverte (Gz + spissée de quartz).
- a/b / c/d Direction-pendage des couches: a) mesuré b) indéterminé c) horizontal d) pendage vertical.
- a/b / c Direction-pendage des clivages: a) mesuré b) indéterminé c) pendage vertical.
- Direction-pendage du clivage de fractures dans le gabbro.
- Direction de strie - plongement mesuré.
- Direction de paléocourant.
- Direction de strie glaciaire.
- ~~~~~ Esker.
- Limite de permis.
- Coupe géologique.
- a/b/c Anomalies en bloc: a) uranifère, b) thorifère, c) indétérminées.
- a/b/c Anomalies en bloc: a) uranifère, b) thorifère, c) indétérminées.
- x x Localisation d'anomalies rattachées aux précédentes.
- Tranchée 1.
- Station d'affleurement et traversée géologique.
- Station de blocs.
- Cône de dispersion de train de blocs majeur.

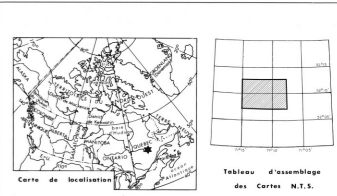
LÉGENDE

- Lac ou Étang.
- Coteau d'eau.
- Coteau d'eau impérial.
- Montagne.
- Courbes de niveau.
- Courbe de coteau.
- Point coté.

Ecartement des courbes 5 mètres

La Déclinaison Magnétique pour 1980 est de 237°59' à l'Ouest du Nord Géographique. La Variation Annuelle est approximativement de 6,2' par Année.

Triangulation aérienne dérivant de photographies aériennes à l'échelle 1:31.680. Triangulation aérienne de photographies à l'échelle 1:60.000.

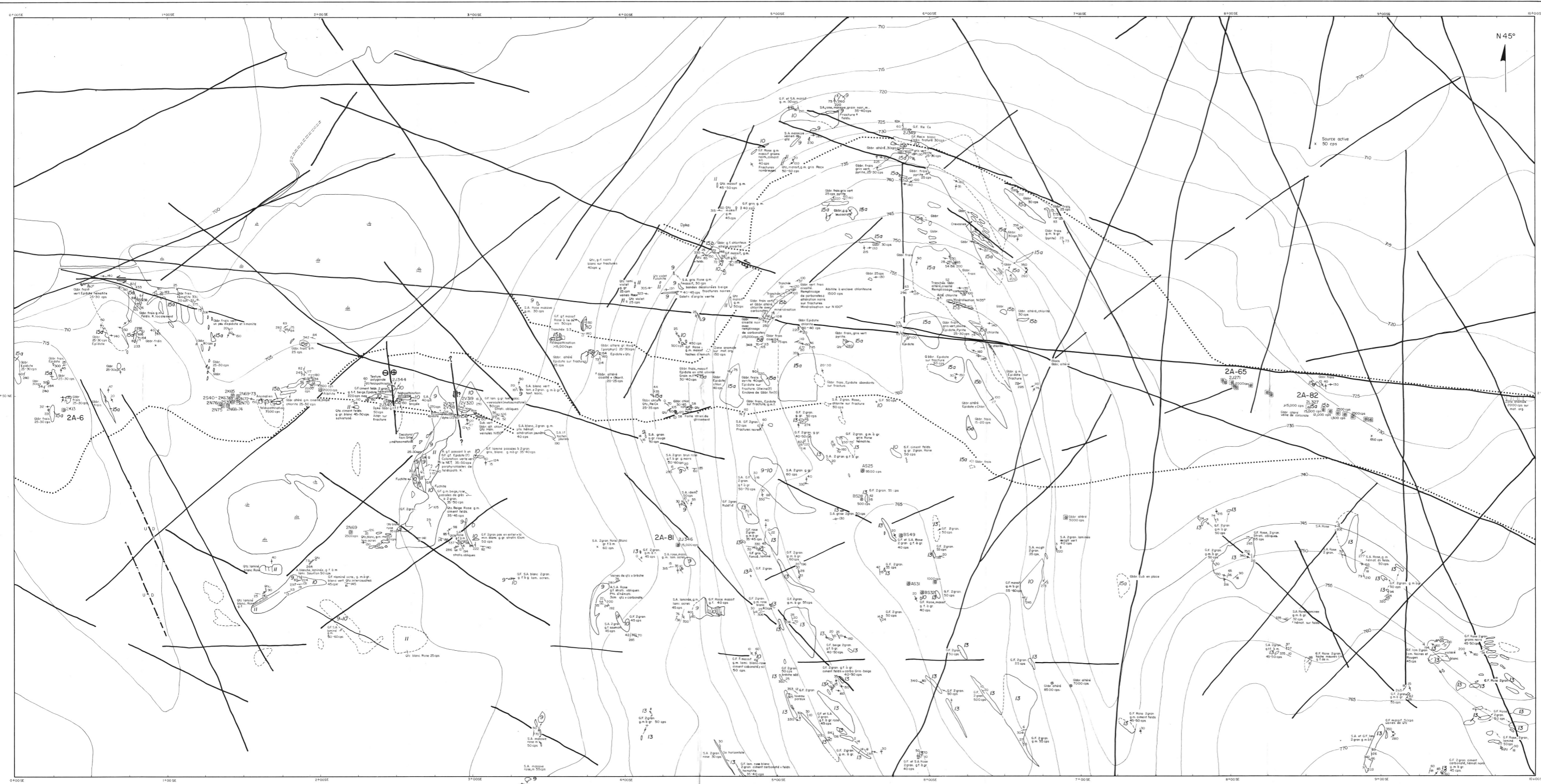


Echelle: 1:10,000

SERU NUCLEAIRE CANADA LIMITEE
PROJET MONTS-OTISH
S.E.R.U.-M.E.R.

CARTE GÉOLOGIQUE
PROPRIÉTÉ "S"
MRN-GÉOINFORMATION 2000
GM 57684

en Dessiné par: []
Ce plan est joint au rapport No. 8055-22 de l'Annexe I Plan No. 80



LÉGENDE

- 15b Gabbro altéré: Epidote, Chlorite, Remplissage de matériel carbonaté
- 15a Gabbro frais.
- 13 Grès à double granulométrie. Comprend: Grès feldspathique et Sub-Arkose.
- 11 Orthoquartzite.
- 10 Grès Feldspathique.
- 9 Sub Arkoses et Arkoses.

Dioclase et direction.

Dioclase ouverte.

Pendage et direction (horizontale).

Direction de l'écoulement glaciaire.

Schistosité.

Faïlle et sens de mouvement.

Sens et direction de courant.

Gabbro.

Orthoquartzite.

Grès feldspathique.

A.S.A. Arkose, sub-arkose.

2-gran Double granulométrie.

g.r.4-m.p. Grain fin à moyen, grossier.

Recr. Recristallisé.

lam. Laminations.

BS 31 et 2L.327 Numéro de station.

strat. oblique Stratifications obliques.

50-cps Radiométrie.

Marecage et ruisseau.

70.5 Courbe de niveau.

2A-6 Anomalies sur bloc.

Anomalies en place.

Contact géologique.

Affluement, sub-affluement.

Source active x 50 cps

ÉCHELLE 1/50,000

Carte de localisation

23 0/5	D/6	D/7
23 0/4	D/3	D/2
22M/13	M/14	M/15
	M/16	

Tableau d'assemblage des Cartes N.T.S.

Echelle: 1 / 1,000

mètres 0 20 40 60 80 100 120

pieds 0 100 200 300 400

SERU NUCLEAIRE CANADA LIMITEE

PROJET MONTS-OTISH 1980

GEOLOGIE DETAILLEE
DE L'INDICE "S"
MRN-GÉOINFORMATION 2000
GM 57684

Interprétation par R.S.J. le 11-80 Dessiné par M.L. le 12-80

Ce plan est joint au rapport No. 8055-22 de Annexe: I **Plan No 8b**

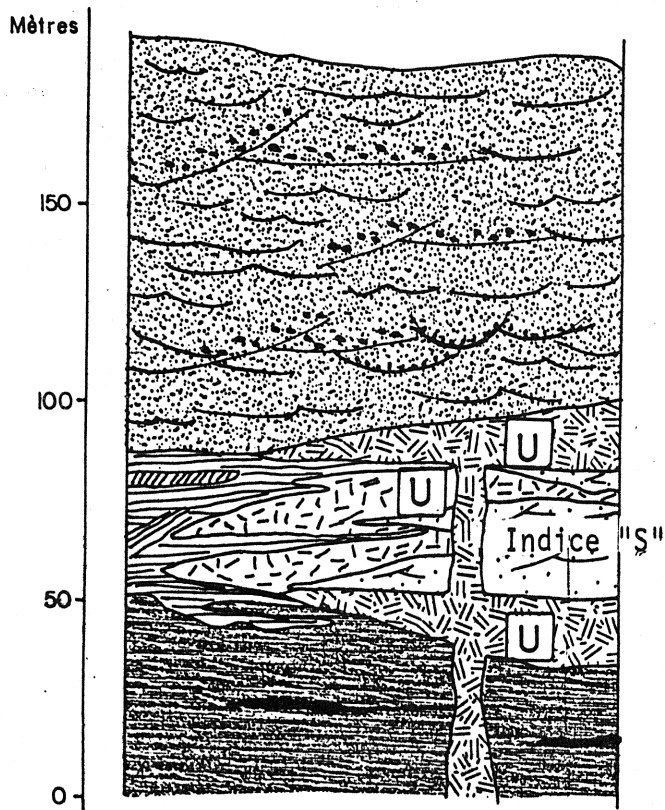
GM 57684

COLONNE STRATIGRAPHIQUE DE "S"

Echelle : 1 / 2,000

Annexe 1

Plan 8c



- Grès à double granulométrie formés de grains de quartz grossiers (1 à 2 mm) alternant avec des lits de grains très fins (0.1 mm).
- Composition subarkosique de couleur rose saumon.
- Passage progressif à des grès feldspathiques à arkosiques grossiers, massifs, passant latéralement à des orthoquartzites roses, massifs, à ciment dolomitique.
- Siltstones mauve sombre, très finement lités, présentant des lentilles décamétriques de grès silteux rosâtre et des lentilles de brèches sédimentaires dolomitiques, localement décolorées selon de petites sphérules ou le long de diaclases.

LEGENDE GEOLOGIQUE:

2A15 U anomalie uranifère2A10 Th anomalie thorifère

1 paragneiss blanc et migmatites associées

2 granite à biotite et amphibole

3 volcanites des ceintures de roches vertes

4 orthoconglomérat polymicte

5 orthoconglomérat oligomicte

6 paraconglomérat oligomicte

7 microconglomérat subarkosique à arkosique

8 microconglomérat quartzitique à feldspathique

9 grès arkosiques et subarkosiques

10 grès feldspathiques

11 orthoquartzite

12 siltstone et argilite

13 grès à 2 granulométries

14 dolomie gréseuse

15 gabbro d'Otish

16 diatexites tardives



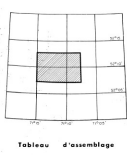
LEGENDE

- Lac ou Etang
- Cour d'eau
- Cour d'eau artificiel
- Mariage
- Courbes de niveau
- Courbe de cuvette
- Point coté

Espacement des courbes 5 mètres

La Déclinaison Magnétique pour 1980 est de 22°30' à l'Ouest du Nord Géographique
La Variation Annuelle est décroissante de 6,27 par Année

Tranquillité aérienne dérivée de photographies aériennes à l'échelle 1:31 680
Tranquillité aérienne de photographies à l'échelle 1:60 000



Echelle 1:10,000



SERU NUCLEAIRE CANADA LIMITEE
 PROJET MONTS-OTISH
 S.E.R.U.-M.E.R.

COUPES ET STATIONS
 MRN GEONFORMATION 2000
 GM 57684

71°18'

71°15'

52°9'

52°9'

71°18'

71°15'

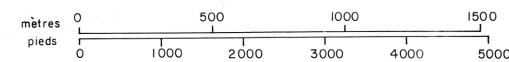
52°7'



LÉGENDE

- 1 Paragneis et migmatites associées.
 - 2 Granite rose à biotite et amphibole.
 - 3 Volcanites des ceintures de roches vertes.
 - 4 Orthoconglomérat polymictique; conglomérat de base.
 - 5 Orthoconglomérat oligomictique.
 - 6 Paraconglomérat.
 - 7 Microconglomérats arkosiques et subarkosiques (> 15% feldspaths).
 - 8 Microconglomérats quartziques et feldspathiques (< 15% feldspaths).
 - 9 Grès arkosique et subarkosique (> 15% feldspaths).
 - 10 Grès feldspathiques (5 à 15% de feldspaths).
 - 11 Orthoquartzite (< 5% feldspaths).
 - 12 Siltstones et argillites.
 - 13 Grès à 2 granulométries.
 - 14 Dolomie gréseuse.
 - 15a Gabbro d'Otish frais.
 - 15b Gabbro d'Otish altéré.
 - 16 Diatexite post-bassin.
-
- Zones d'affleurements et affleurement.
 - Contacts géologiques sur zone d'affleurement.
 - Extrapolations des contacts hors affleurements.
 - ⊕ ⊖ nature du rejet horizontal.
 - ⊕ ⊖ Faille (⊕: mouvements verticaux, respectivement surrection et effondrement).
 - Extrapolations de faille.
 - Fractures déduites de la photogéologie.
 - ⊕ ⊖ Anticlinal.
 - ⊕ ⊖ Synclinal.
 - ⊕ ⊖ Fracture ouverte (Qz = tapissée de quartz).
 - a) b) / a) d) Direction-pendage des couches: a) mesuré b) indéterminé c) horizontal d) pendage vertical.
 - a) b) / c) Direction-pendage des clivages: a) mesuré b) indéterminé c) pendage vertical.
 - ↗ Direction-pendage du clivage de fractures dans le gabbro.
 - ↘ Direction de strie - plongement mesuré.
 - ↖ Direction de paléocourant.
 - ↗ Direction de strie glaciaire.
 - ~~~~~ Esker.
 - ⊕ ⊖ Limite de permis.
 - ⊕ ⊖ Coupe géologique.
 - a) U) b) T) c) Anomalies en place: a) uranifère, b) thorifère, c) indéterminées.
 - a) U) b) T) c) Anomalies en blocs: a) uranifère, b) thorifère, c) indéterminées.
 - x x Localisation d'anomalies rattachées aux précédentes.
 - T1 Tranchée 1.
 - ⊕ ⊖ Station d'affleurement et traverse géologique.
 - ⊕ ⊖ Station de blocs.
 - ⊕ ⊖ Cône de dispersion de train de blocs majeur.

ECHELLE: 1: 15,840



SERU NUCLEAIRE CANADA LIMITEE	
PROJET MONTS-OTISH	
GEOLOGIE LAC GASCHET	
Rapport No.: 8055-22 Annexe: I	Plan N° 9 a

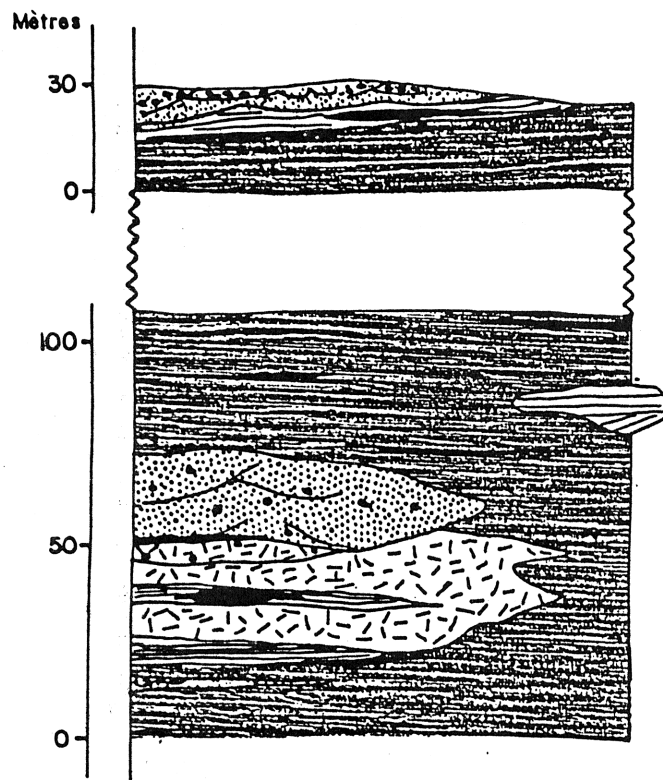
MRN-GÉOINFORMATION 2000

GM 57684

COLONNE STRATIGRAPHIQUE DU "LAC GASCHET"

Echelle : 1 / 2,000

Annexe 1
Plan 9b.



SILTSTONES MAUVES TRES FINEMENT LITES


présentant:


- des lentilles de grès dolomitique ou dolomie gréseuse
- des bancs d'orthoquartzite rouge sombre
- des épisodes détritiques grossiers en séquence négative: quartzite - grès feldspathique à la base - microconglomérat subarkosique au sommet


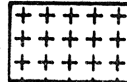
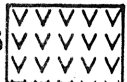

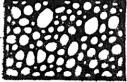











MRN-GÉOINFORMATION 2000

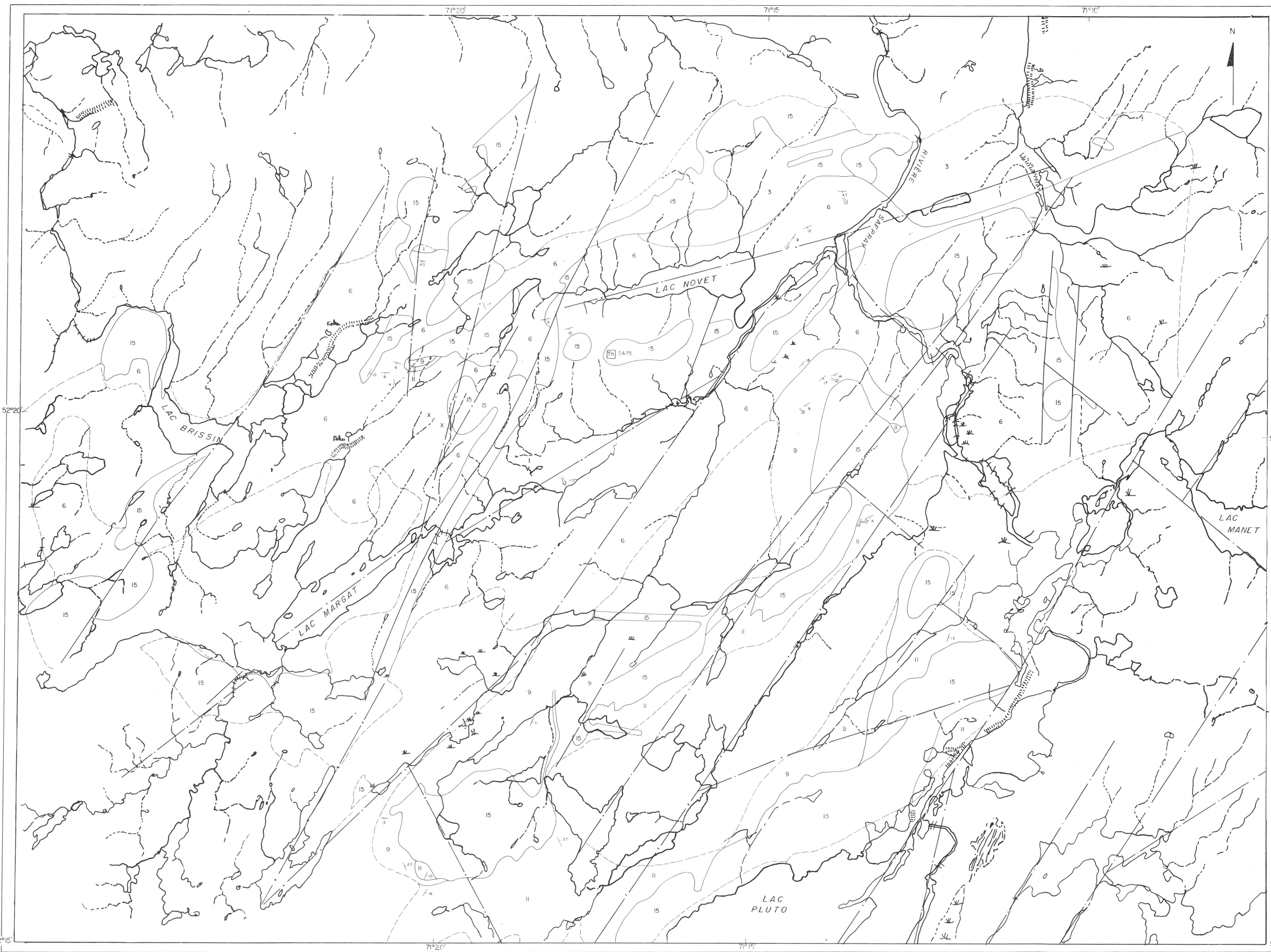
GM 57684

LEGENDE GEOLOGIQUE:

2A15  anomalie uranifère

2A10  anomalie thorifère

- | | | | |
|---|--|---|---|
| 1  paragneiss blanc et migmatites associées | 2  granite à biotite et amphibole | 3  volcanites des ceintures de roches vertes | 4  orthoconglomérat polymicte |
| 5  orthoconglomérat oligomicte | 6  paraconglomérat oligomicte | 7  microconglomérat subarkosique à arkosique | 8  microconglomérat quartzitique à feldspathique |
| 9  grès arkosiques et subarkosiques | 10  grès feldspathiques | 11  orthoquartzite | 12  siltstone et argilite |
| 13  grès à 2 granulométries | 14  dolomie gréseuse | 15  gabbro d'Otish | 16  diatexites tardives |



LÉGENDE

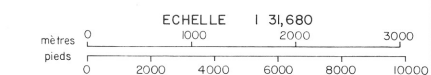
- 1 Paragneis et migmatites associées.
- 2 Granite rose à biotite et amphibole.
- 3 Volcanites des ceintures de roches vertes.
- 4 Orthoconglomérat polymictique; conglomérat de base.
- 5 Orthoconglomérat oligomictique.
- 6 Paraconglomérat
- 7 Microconglomérats arkosiques et subarkosiques (>15% feldspaths).
- 8 Microconglomérats quartziques et feldpathiques (<15% feldspaths).
- 9 Grès arkosique et subarkosique (>15% feldspaths).
- 10 Grès feldpathiques (5 à 15% de feldspaths).
- 11 Orthoquartzite (<5% feldspaths).
- 12 Siltstones et argillites.
- 13 Grès à 2 granulométries.
- 14 Dolomie gréseuse.
- 15a Gabbro d'Otish frais.
- 15b Gabbro d'Otish altéré.
- 16 Diatexite post-bassin.

- Zones d'affleurements et affleurement.
- Contacts géologiques sur zone d'affleurement.
- Extrapolations des contacts hors affleurements.
- Faille
 - : nature du rejet horizontal.
 - : mouvements verticaux, respectivement surrection et effondrement.

- Extrapolations de faille.
- Fractures déduites de la photogéologie.
- Anticlinal.
- Synclinal.
- Fracture ouverte (Qz = tapissée de quartz)
- a) Direction - pendage des couches: a) mesuré b) indéterminé c) horizontal d) pendage vertical.
- a) Direction - pendage des clivages: a) mesuré b) indéterminé c) pendage vertical.
- Direction - pendage du clivage de fractures dans le gabbro.
- Direction de strie - plongement mesuré.
- Direction de paléocourant.
- Direction de strie glaciaire.
- Esker.

MRN-GÉOINFORMATION 2000
GM 57684

- Anomalies en place: a) uranifère, b) thorifère, c) indéterminées.
- Anomalies en blocs: a) uranifère, b) thorifère, c) indéterminées.
- Localisation d'anomalies rattachées aux précédentes.
- Tranchée I.
- Station d'affleurement et traverse géologique.
- Station de blocs.
- Cône de dispersion de train de blocs majeur.

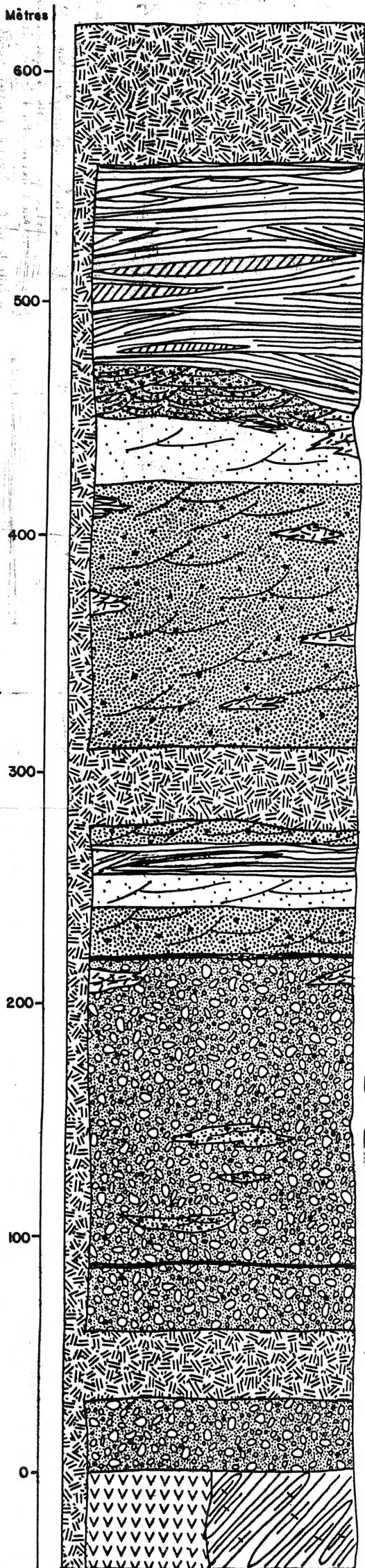


SERU NUCLEAIRE CANADA LIMITEE			
PROJET MONTS-OTISH			
GEOLOGIE BORDURE NORD			
Rapport No.: 8055-22	Annexe: I	Plan N°	10 a

COLONNE STRATIGRAPHIQUE DE LA BORDURE NORD

Echelle : 1 / 2,000

PLAN # 106
Annexe 1



3ième filon couche de gabbro

FACIES OXYDES:

- Orthoquartzite à grain moyen à grossier en lits décimétriques, de couleur blanc rosé.
 - . passages de grès feldspathiques plus massifs
 - . lentilles à stratifications tabulaires
 - . stratifications entrecroisées
 - En passage graduel: grès grossiers subarkosiques à double granulométrie.
 - Grès subarkosiques grossiers à galets flottants (ϕ : 1-3 cm).
 - Microconglomérats subarkosiques chenalisants avec des lentilles:
 - . de microconglomérat et grès feldspathique,
 - . de quartzite,
 nombreuses reprises de sédimentation.
- Au sommet de la séquence, altérations ocre et joints hématésés.

2ième filon couche de gabbro

- Microconglomérat subarkosique ravinant des:
 - . orthoquartzites laminés, grain grossier
 - . subarkosiques grossières
 - . microconglomérat subarkosique à arkosique.

FACIES VERTS:

- Paraconglomérats oligomictiques:
 - . 10 à 60% de galets à la base
 - . 5 à 30% au sommet
- Matrice évoluant de quartzitique à la base à subarkosique au sommet
- Chenaliation au sommet

1er filon couche de gabbro

SOCLE:

- gneiss migmatitique
- ceinture de roches vertes

LEGÈRE GÉOLOGIQUE:

2A15 U anomalie uranifère 2A10 U anomalie thorifère

1	paragneiss blanc et migmatites associées	2	granite à biotite et amphibole	3	volcanites des ceintures de roches vertes	4	orthoconglomérat polyfictive
5	orthoconglomérat oligomictique	6	paraconglomérat oligomictique	7	microconglomérat subarkosique à arkosique	8	microconglomérat quartzitique à feldspathique
9	grès arkosiques et subarkosiques	10	grès feldspathiques	11	orthoquartzite	12	siltstone et argilite
13	grès à 2 granulométries	14	dolomie gréseuse	15	gabbro d'Océan	16	diatexites tardives

COLONNE STRATIGRAPHIQUE DU SONDAGE DU LAC LAPARRE

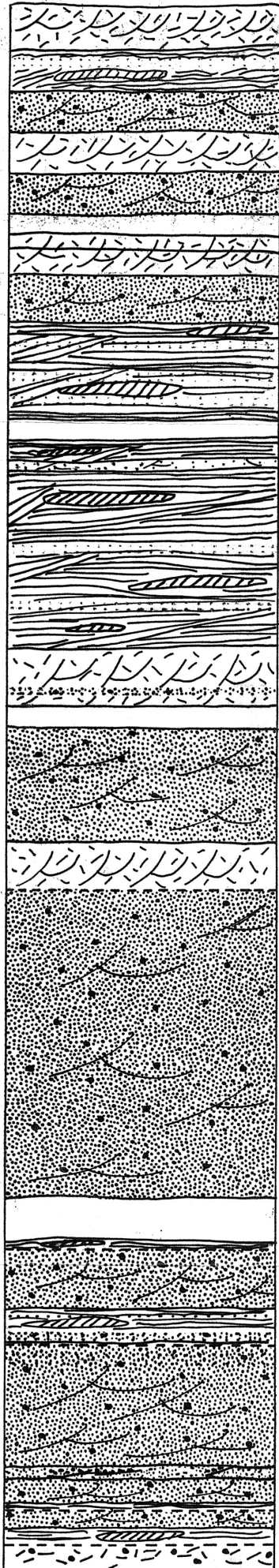
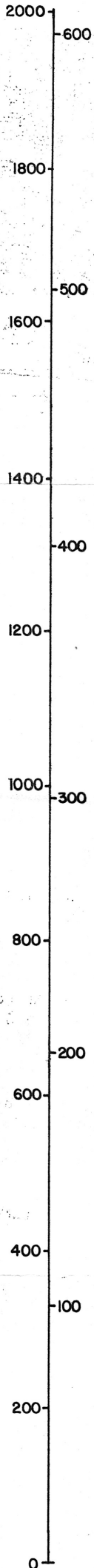
Echelle : 1 / 2,000

ANNEXE 1 PLAN # 11

MRN-GÉOINFORMATION 2000

GM 57684

Pieds Mètres



Grès feldspathique Grossier.

Quartzite laminié à grains moyens.

Subarkoses Microconglomératiques à Cailloux épars.

Grès Feldspathique Grossier Rose.

Subarkoses microconglomératiques Passages Conglomératiques. Quartz et feldspaths Roses. Altération blanc laiteux. Grains de Feldspath anguleux.

Boîtes Manquantes.

Grès feldspathique. Feldspath altéré, blanc laiteux.

Grès feldspathique à grains grossiers, Cailloux épars de Quartz rouge et blanc.

Subarkoses microconglomératiques à granules et cailloux de Quartz et feldspath. Cailloux Rouges.

Interchis centimétriques de Grès feldsp. et de Quartzite. Passage graduel aux Grès Sous Jacents.

Quartzite massif beige à grains fins. Quelques passées laminées.

Quartzite blanc Rose Grains fins "Pis" d'hématite. Passées de Quartzites laminés à grains moyens.

Quartzite laminié Rose. Passées de Quartzite massif. Granulométrie homogène.

Microconglomérat Quartzitique Rose et Quartzite à grains fins. Altérés et broyés.

Boîtes Manquantes

Subarkose Rose.

Quartzite Rose massif à passées laminées. Grains fins.

Subarkoses Roses Grains Grossiers. Feldspaths dissous localement. Cailloux épars. Passage très brusque aux Quartzites.

Quartzite Rose massif à passées laminées Grains fins à moyens. Hématite ponctuelle sur quelques centimètres.

Grès feldspathique Grossier blanc Rose passées hématitiques. Cailloux et granules épars de Quartz. Passées de subarkoses Microconglomératiques. Hématite et dissolution ponctuelle des feldspaths.

Boîtes Manquantes

Subarkoses Microconglomératiques, blanches, à taches locales d'hématite. Cailloux de quartz et de Quartz rouge et gris.

Grès feldspathique à grains grossiers et cailloux épars de quartz. Granules Rouges.

Passées quartzitiques à laminées. Passées microconglomératiques feldspathique.

Passage graduel aux Microconglomérats sous Jacents et sous Jacents.

Subarkoses microconglomératiques, passées arkosiques. Caractère polygénique. Cailloux et granules rouges. Cailloux de grès laminié Rouge. Quelques passées plus Quartzitiques à cailloux épars.

Traces de sultures sur diachases.

Boîtes Manquantes.

Quartzite blanc massif Grain moyen à fin. Granulo. hétérogène. Matrice feldspathique.

Subarkoses microconglomératiques blanches. Granules et cailloux de Quartz sub arrondis. Passage graduel aux Quartzites Sous Jacents. Affinement de la séquence.

Quartzite blanc-Rose. Grains Moyens à grossiers. Quelques laminations. Passées de Subarkoses Microconglomératiques. Passage graduel aux Subarkoses sous Jacents.

Subarkoses Microconglomératiques à Feldspaths Roses anguleux.

Granules et cailloux de Quartz sub arrondis.

Passée gréseuse laminée et hématisée.

Grès feldspathique à 2 granulométries. Grains fins et moyens. Felds. dans laminés fins. Passées Panaché.

Subarkoses microconglomératiques à passées arkosiques grossières.

Quartzite laminié. grains moyens et fins. Passage graduel aux subarkoses sous Jacents.

Subarkoses microconglomératiques. Cailloux de Quartz sub arrondis. (2 cm.). Felds. en matrices et en grains blancs altérés.

Quartzite massif blanc verdâtre, passe graduellement aux grès feldspathiques sous Jacents.

Grès feldspathique microconglomératique à cailloux de quartz sub arrondis. Grains de Quartz rouge.

LEGENDE GEOLOGIQUE:

2A15 U anomalie uranifère

2A10 Th anomalie thorifère

